

UNIVERZITA KOMENSKÉHO V BRATISLAVE
FAKULTA MATEMATIKY, FYZIKY A INFORMATIKY

Cache-oblivious algoritmy a ich vizualizácia
Bakalárska práca

UNIVERZITA KOMENSKÉHO V BRATISLAVE
FAKULTA MATEMATIKY, FYZIKY A INFORMATIKY

Cache-oblivious algoritmy a ich vizualizácia
Bakalárska práca

Študijný program: Informatika
Študijný odbor: 2508 Informatika
Školiace pracovisko: Katedra Informatiky FMFI
Vedúci práce: Mgr. Jakub Kováč, PhD.



Univerzita Komenského v Bratislave
Fakulta matematiky, fyziky a informatiky

ZADANIE ZÁVEREČNEJ PRÁCE

Meno a priezvisko študenta: Ladislav Pápay
Študijný program: informatika (Jednoodborové štúdium, bakalársky I. st., denná forma)
Študijný odbor: 9.2.1. informatika
Typ záverečnej práce: bakalárska
Jazyk záverečnej práce: slovenský

Názov: Cache-oblivious algoritmy a ich vizualizácia / *Cache-oblivious algorithms and their visualization*

Cieľ: Cieľom práce je uviesť prehľad a implementovať vizualizácie vybraných cache-oblivious algoritmov a dátových štruktúr.

Kľúčové slová: cache-oblivious algoritmy, vizualizácia

Vedúci: Mgr. Jakub Kováč, PhD.
Katedra: FMFI.KI - Katedra informatiky
Vedúci katedry: doc. RNDr. Daniel Olejár, PhD.
Dátum zadania: 30.10.2013

Dátum schválenia: 30.10.2013
doc. RNDr. Daniel Olejár, PhD.
garant študijného programu

.....
študent

.....
vedúci práce

Podakovanie

Za návrh témy a odbornú pomoc pri jej spracovaní patrí vďaka môjmu školiteľovi Jakubovi Kováčovi. Ďalej ďakujem svojim priateľom za testovanie a spätnú väzbu počas spracúvania tejto práce. V poslednom rade ďakujem rodine za podporu a poskytnuté možnosti vzdelávania.

Čestne prehlasujem, že prácu *Cache-oblivious algoritmy a ich vizualizácia* som vypracoval samostatne na základe vlastných teoretických a praktických poznatkov s použitím odborných zdrojov, ktorých úplný prehľad je uvedený v zozname použitej literatúry.

Ladislav Pápay

Abstrakt

V tejto práci sa zaoberáme modelom externej pamäte, ktorý vystihuje hierarchické pamäte v dnešných výpočtových systémoch. Ďalej uvádzame upravenú verziu tohto modelu, takzvaný *cache-oblivious model*. Pre tento model uvádzame niekoľko algoritmov a dátových štruktúr spolu s ich pamäťovou analýzou. Napokon v poslednej časti práce popisujeme funkcionality a používanie vizualizácií vytvorených ako súčasť tejto práce.

Výsledkom práce sú vizualizácie pre niekoľko vybraných *cache-oblivious* dátových štruktúr, ktoré sú implementované ako rozšírenie aplikácie *Gnarley Trees*, ktorá vznikla ako súčasť bakalárskej práce Jakuba Kováča v roku 2007. Na priloženom CD sa nachádza zdrojový kód a spustiteľná verzia tejto aplikácie.

KLÚČOVÉ SLOVÁ: dátové štruktúry, pamäťová analýza, cache, cache-oblivious, vizualizácia

Abstract

In this thesis we consider the external memory model, which depicts the hierarchical memory used in today's computer systems. Next we introduce a modification of this model, the so called *cache-oblivious model*. We describe several algorithms and data structures in this model together with their memory analyses. In the last part we describe the features and usage of visualizations created as a part of this work.

The result of this thesis are visualizations of several selected *cache-oblivious* data structures implemented as an extension of the *Gnarley Trees* application, which was created as a part of bachelor's thesis by Jakub Kováč in 2007. The attached CD contains source code and executable version of this application.

KEYWORDS: data structures, memory analysis, cache, cache-oblivious, visualizations

Obsah

Úvod	1
1 Pamäťový model	3
1.1 External-memory model	4
1.1.1 Cache-aware algoritmy	5
1.2 Cache-oblivious model	5
1.2.1 Správa pamäte	5
1.3 Prehľad výsledkov v cache-oblivious modeli	7
2 Cache-oblivious algoritmy a dátové štruktúry	9
2.1 Základný algoritmus	9
2.1.1 Analýza zložitosti	10
2.2 Vyhľadávanie v statickej množine	11
2.2.1 Binárne vyhľadávanie	11
2.2.2 <i>Cache-aware</i> riešenie	12
2.2.3 Spodná hranica pre vyhľadávanie	12
2.2.4 Naivné <i>cache-oblivious</i> riešenie	13
2.2.5 Vyhľadávací strom vo <i>van Emde Boasovom</i> usporiadaní	14
2.2.6 Rozdiely v prístupe ku pamäti	16
2.2.7 Dynamická verzia vyhľadávacieho stromu	17
2.3 Usporiadané pole	17
2.3.1 Popis štruktúry	17
2.3.2 Definícia hustoty	19
2.3.3 Operácie	19
2.3.4 Analýza	20
2.4 Dynamický B-strom	21
2.4.1 <i>Cache-aware</i> riešenie	22
2.4.2 Popis <i>cache-oblivious</i> štruktúry	22
2.4.3 Vyhľadávanie	22
2.4.4 Vkladanie	23
2.4.5 Analýza vkladania	23
2.4.6 Odstraňovanie	26

2.5	Vylepšený dynamický B-strom	26
2.5.1	Vyhľadávanie	26
2.5.2	Vkladanie a odstraňovanie	26
3	Vizualizácie	28
3.1	Gnarley trees	28
3.1.1	Spustenie	28
3.1.2	Funkcionalita	29
3.1.3	Prehľad programu	30
3.2	Statický strom	30
3.2.1	Simulácia <i>cache</i>	31
3.3	Usporiadané pole	32
3.4	Dynamický strom	32
	Záver	35
	Literatúra	36

Zoznam obrázkov

1.1	External-memory model	4
2.1	Schematické znázornenie rekurzívneho delenia	14
2.2	Porovnanie klasického a <i>van Emde Boasovho</i> usporiadania	15
2.3	Porovnávanie prístupov ku pamäti pri vyhľadávaní hodnoty 17	16
2.4	Porovnávanie prístupov ku pamäti pri vyhľadávaní hodnoty 243	18
2.5	Porovnávanie prístupov ku pamäti pri vyhľadávaní hodnoty 427	18
2.6	Usporiadané pole	19
2.7	Dynamický strom	22
2.8	Rozdelenie statického stromu	24
3.1	Užívateľské rozhranie	29
3.2	Statické stromy rôznych veľkostí	30
3.3	Rozdiel medzi <i>BFS</i> a <i>van Emde Boasovým</i> usporiadaním	31
3.4	Simulácia <i>cache</i> počas vyhľadávania kľúča 3	32
3.5	Simulácia <i>cache</i> počas vyhľadávania kľúča 15	33
3.6	Usporiadané pole	34
3.7	Vizualizácia dynamického <i>cache-oblivious</i> B-stromu	34

Úvod

Pri tvorbe efektívnych algoritmov sa najčastejšie zaujíname o časovú zložitosť a prípadne aj pamäťovú zložitosť. To dosahujeme analýzou v takzvanom *RAM* modeli, v ktorom je prístup k dátam v pamäti považovaný za operáciu vykonateľnú v konštantnom čase. V prípadoch, keď pracujeme s veľkým objemom dát, ktoré sú uložené na médiu s veľkou kapacitou ale nízkou prístupovou rýchlosťou, však tento model prestáva vystihovať realitu.

V skutočnosti však nemusí ísť priamo o veľmi veľké objemy dát a pomalé médiá. Rozdiely v prístupových rýchlostiach medzi vyrovnávacou pamäťou na procesore a hlavnou operačnou pamäťou sú dostatočne veľké na to, aby sa nám v praxi oplátilo minimalizovať počet presunov aj medzi nimi. Ich veľkosť je pritom rádovo len niekoľko kilobajtov, čo je častokrát podstatne menej ako objem spracúvaných dát a nemôžeme teda predpokladať, že k týmto pomalým prístupom nedôjde.

Dôležitým faktorom teda môže byť aj počet týchto pamäťových operácií. Tie majú priamy vplyv na výslednú časovú zložitosť, a preto je výhodné minimalizovať množstvo zápisov a čítaní z pomalého úložiska a snažiť sa využívať práve rýchlu vyrovnávaciu pamäť.

Klasickým prístupom v týchto prípadoch sú takzvané *cache-aware* algoritmy, ktoré poznajú presné parametre pamäťového systému pre dosiahnutie požadovanej efektivity. Následkom toho môže byť viazanosť na konkrétny systém či náročnosť a komplikovanosť implementácie. V tejto práci sa budeme venovať *cache-oblivious* algoritmom a dátovým štruktúram, ktoré tieto parametre nepoznajú, no napriek tomu sú v istých prípadoch asymptoticky rovnako efektívne ako ich *cache-aware* ekvivalenty.

Okrem samozrejmej výhody, kedy nám stačí jedna univerzálna implementácia algoritmu pre ľubovoľné množstvo rôznych systémov, prinášajú tieto algoritmy aj iné zlepšenia. V takmer každom systéme je pamäť hierarchická – zložená z viacerých úrovní, pričom každá je väčšia ale pomalšia ako tá predošlá. Pri *cache-aware* by pre optimálne využitie každej z úrovní pamäte bolo potrebné poznať parametre každej úrovne, a rekurzívne vnoriť do seba mnoho inštancií, každú optimalizovanú pre jednu úroveň. No v prípade *cache-oblivious* algoritmov a dátových štruktúr nám stačí jedna inštancia – keďže nevyžaduje poznať parametre žiadnej úrovne, bude rovnako efektívna bez ohľadu na ich hodnoty a teda rovnako efektívna na každej úrovni súčasne.

V tejto práci vysvetľujeme problematiku analýzy počtu pamäťových operácií, popisujeme *cache-oblivious* pamäťový model, porovnávame ho s *cache-aware* modelom a uvádzame prehľad vybraných algoritmov a dátových štruktúr. Pre popísané štruktúry uvádzame analýzu ich správania v *cache-oblivious* modeli.

Hlavným výsledkom práce je implementácia vizualizácií týchto dátových štruktúr. Vizualizácie sú implementované ako rozšírenie programu *Gnarley trees*, ktorý vznikol ako bakalárska práca Jakuba Kováča a neskôr bol rozšírený o ďalšiu funkcionálnu v ročníkových projektoch a bakalárskych prácach. Tento program sme rozšírili o podporu pre simuláciu vyrovnávacej pamäte a pridali sme vizualizácie niekoľkých *cache-oblivious* dátových štruktúr. Cieľom je umožniť užívateľom experimentovať s týmito štruktúrami, sledovať ich správanie krok po kroku. Tieto kroky sú podrobne vysvetlené, čo uľahčuje porozumeniu ich fungovania.

Pamäťový model

Memory is the thing you
forget with.

Alexander Chase

Pri časovej analýze algoritmov sa zvyčajne používa takzvaný *RAM model* (skratka z anglického *Random-Access Machine*, stroj s náhodným prístupom k pamäti) [2], v ktorom sa predpokladá možnosť pristupovať k ľubovoľnému úseku pamäte v konštantnom čase. To znamená, že vo výslednej asymptotickej analýze počítame len počet vykonaných operácií.

V skutočnosti však moderné počítače využívajú niekoľko úrovňovú pamäťovú hierarchiu [11]. Tá sa typicky skladá z registrov a troch úrovní *cache* (vyrovnávacej pamäte) priamo na procesore, následne z hlavnej operačnej pamäte a disku. V tomto poradí sú tieto úrovne zoradené od najrýchlejšej a najmensej (odozva rádovo 1 ns, kapacita 64 KiB) až po najpomalšiu ale najväčšiu (odozva od 100 μ s po 10 ms podľa typu¹, kapacita rádovo 1 TiB). Približné hodnoty pre všetky úrovne sú v tabuľke 1.1. Ako vidieť, rozdiel v prístupovej dobe k rôznym dátam môže byť až 10 000 000-násobný. Naskytuje sa teda otázka, či je užitočné a presné hovoriť o konštantnom čase.

Dôsledkom tejto hierarchie je závislosť výslednej rýchlosti algoritmu od jeho prístupov k pamäti. Operácie, ktoré využívajú dáta uložené na disku potrvajú dlhšie ako tie, ktoré využívajú iba dáta v registroch. Pri prístupe k dátam na disku sa v skutočnosti tieto dáta postupne presunú z disku do hlavnej pamäte, do *cache* na procesore a nakoniec do registrov. Toto zabezpečí, že ich opakované použitie, pokiaľ nebudú dovtedy z *cache* odstránené, bude rýchlejšie. Pre všetky susedné dvojice pamäťových úrovní teda slúži tá menšia a rýchlejšia ako vyrovnávacia pamäť pre tú väčšiu a pomalšiu.

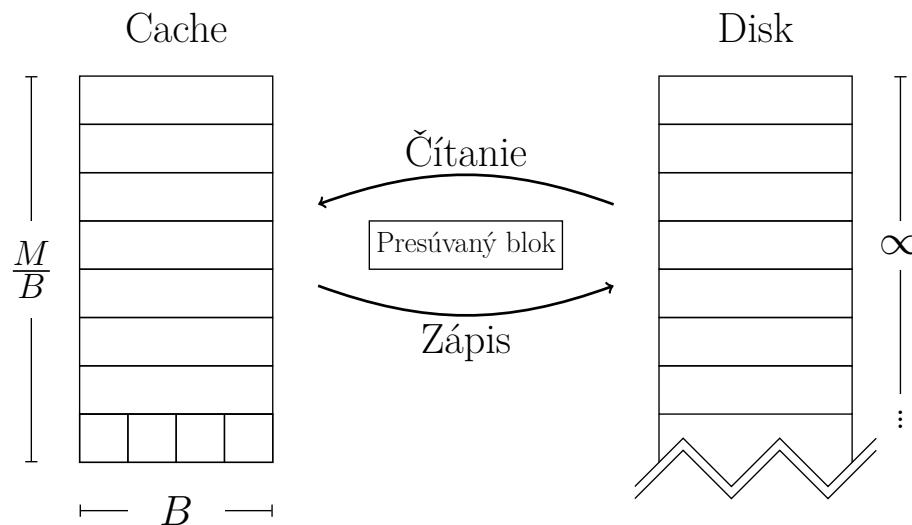
¹Klasické pevné disky (HDD) alebo disky bez pohyblivých častí (SSD)

Tabuľka 1.1: Približné parametre rôznych úrovní pamäte. Hodnoty troch úrovní *cache* na procesore (L1, L2 a L3) uvádzame pre mikroarchitektúru Intel Haswell. [13, 14]

Úroveň	Veľkosť	Odozva	Asociativita	Veľkosť bloku
L1	64 KiB ¹	4clk ² ≈ 1 ns	8	64 B
L2	256 KiB ¹	11clk ² ≈ 4 ns	8	64 B
L3	2–20 MiB	36clk ² ≈ 12 ns		64 B
RAM	≈ 8 GiB	≈ 100 ns		16 B
Disk	≈ 1 TiB	≈ 0.1 – 10 ms		4 KiB–2 MiB

¹ Hodnota pre jedno jadro procesora.

² Počet cyklov procesora, uvedené časové aproximácie pri 3 GHz.



Obrázok 1.1: External-memory model

1.1 External-memory model

Jedným zo spôsobov, ako zohľadniť tieto skutočnosti pri analýze algoritmov, je takzvaný *external-memory model* (model externej pamäte), nazývaný tiež *I/O model* alebo *cache-aware model* [1]. Ten popisuje pamäť skladajúcu sa z dvoch častí (obrázok 1.1), ktoré voláme *cache* a *disk*.

Všetky výpočty prebiehajú nad dátami v *cache*, ktorá má obmedzenú veľkosť. Ostatné dáta sú uložené na disku neobmedzenej veľkosti, no nemôžeme s nimi priamo manipulovať a je ich potrebné najskôr preniesť do *cache*. V samotnej analýze algoritmov potom počítame počet týchto prenosov z disku do *cache* a naopak.

Prístup k dátam, ktoré sa práve nachádzajú v *cache* voláme *cache hit* (zásah *cache*). Naopak prístup, ktorý vyžaduje dáta najskôr presunúť z *disk*-u do *cache* voláme *cache miss* (minutie *cache*). Tieto presuny sú realizované v *blokoch* pamäte veľkosti B . Disk aj *cache* sa skladajú z takýchto blokov a za jednu operáciu považujeme presun jedného bloku medzi nimi. *Cache* má obmedzenú veľkosť M a skladá sa teda z $\frac{M}{B}$ blokov.

1.1.1 Cache-aware algoritmy

Pokiaľ poznáme parametre B a M , môžeme skonštruovať algoritmus, ktorý bude túto dvojicu pamätí využívať efektívne. Takýto algoritmus voláme *cache-aware* (uvedomujúci si *cache*). Súčasťou tohto algoritmu by bolo spravovanie presunov pamäte – je potrebné riešiť čítanie blokov z disku a ich umiestňovanie do *cache*, nahrádzanie blokov v *cache* pri zaplnení a spätný zápis blokov na disk. Toto nemusí byť explicitnou súčasťou algoritmu a môže byť riešené na inej úrovni.

Tento model popisuje len dve úrovne pamäte a teda funguje efektívne len pre danú susednú dvojicu, pre ktorú ho na základe znalosti parametrov optimalizujeme. V moderných systémoch ale máme takýchto dvojíc niekoľko. Keby sme poznali parametre pre všetky tieto dvojice, môžeme tieto algoritmy optimalizovať pre všetky susedné dvojice a ich parametre. Stále však zostáva problémom viazanosť algoritmu na tieto parametre a pri ich zmene prestáva byť optimálny.

1.2 Cache-oblivious model

Druhým spôsobom, ktorý zohľadňuje nekonštantný prístupový čas k údajom v pamäti, je takzvaný *cache-oblivious model* (na *cache* nedbajúci), v ktorom uvažujeme rovnakú dvoj-úrovňovú pamäť zloženú z disku a *cache* [12, 20]. Na rozdiel od *cache-aware* modelu však algoritmus nepozná parametre B a M . Pokiaľ sa nám napriek tomu podarí navrhnuť algoritmus, ktorý vykonáva (asymptoticky) rovnaký počet pamäťových presunov ako *cache-aware* algoritmus, bude bežať efektívne pre ľubovoľné takéto parametre.

Výhodou oproti *cache-aware* algoritmom je automatická optimalizácia pre dané parametre. V prípade *cache-aware* algoritmov môže byť problémom získať presné hodnoty týchto parametrov a potrebné pri ich zmene upraviť algoritmus. Vývoj algoritmu, ktorý bude fungovať na rozličných architektúrach, môže byť značne problematický.

Ďalšou výhodou je, že takýto *cache-oblivious* algoritmus bude (rovnako) efektívny medzi každou dvojicou susedných úrovní. Vzhľadom na to, že hodnoty parametrov nepozná, bude pre ľubovoľnú takú dvojicu pracovať rovnako efektívne ako pre každú inú.

1.2.1 Správa pamäte

V momente, keď sa *cache-oblivious* algoritmus pokúsi o vykonanie operácie, ktorá potrebuje dáta mimo *cache*, je potrebné ich najskôr z disku skopírovať. V prípade, že je v *cache* voľný blok, je možné presunúť dáta bez nutnosti nahradenia. V opačnom prípade je však potrebné uvoľniť miesto tým, že sa vyberie blok z *cache* (ak bol tento blok upravený, najskôr sa jeho obsah zapíše späť na disk), ktorý bude následne prepísaný

požadovaným blokom. Tento proces sa nazýva výmena stránok (*page replacement*), a algoritmus rozhodujúci, ktorý blok z cache odstrániť, voláme stratégiá výmeny stránok (*page-replacement strategy*). Dve základné stratégie výmeny stránok sú *LRU* a *FIFO*.

Stratégia *LRU* (least recently used – najdlhšie nepoužitý) vyberá vždy blok, ktorý bol najdlhšie nepoužitý. Implementácia vyžaduje udržiavať si ku každému bloku počítadlo, ktoré sa pri prístupe nastaví na nulu a pri prístupe k iným blokom zvýši o jedna. Pri potrebe uvoľniť miesto v cache vyberieme blok s najväčšou hodnotou počítadla – ten, ku ktorému najdlhšie nebol prístup.

Stratégia *FIFO* (first in, first out – prvé dnu, prvé von) je ešte jednoduchšia – bloky udržiavame zoradené podľa poradia, v akom sme ich vložili do *cache*. Keď vyberáme blok na odstránenie, vezmeme ten, ktorý bol pridaný najskôr.

Ak by sa táto stratégia správala tak, že vždy odstráni blok, ktorý bude potrebný v ďalšom kroku algoritmu, tak by bolo možné efektívne pracovať len s jedným blokom v *cache*, napriek tomu, že by sa ich do *cache* zmestilo viac. Vzhľadom na to, že analýza množstva *cache-oblivious* algoritmov predpokladá istý minimálny počet blokov, ktorý sa zmestí do *cache*, bol by tento predpoklad nenaplnený. To by mohlo spôsobiť, že by algoritmus vykonal viac pamäťových presunov ako táto analýza predpovedala.

Ďalším problémom je takzvaná *asociatívnosť* cache – počet pozícií v *cache*, na ktoré môžeme daný blok uložiť, ktorý je z praktických dôvodov často obmedzený. Inak by bolo potrebné ukladať spolu s každým blokom jeho plnú adresu na disku, čo by redukovalo celkový počet blokov, ktoré sa do *cache* zmestia. Znížením asociativity je možné ukladať iba časť adresy, pričom zvyšok je implicitne určený pozíciou v *cache*. V prípade nízkej asociativity však môžu opäť nastať situácie, kedy je algoritmus schopný využiť iba malý počet blokov v *cache*. V moderných systémoch (tabuľka 1.1) sa asociativita pohybuje okolo 8, čo znamená, že daný blok je v *cache* možné umiestniť len na 8 z $\frac{M}{B}$ pozícií.

Ideálna *cache*

Tieto problémy *cache-oblivious* model obchádza predpokladom ideálnej *cache*, ktorá je plne asociatívna (každý blok disku je možné uložiť v každom bloku *cache*) a používa optimálnu stratégiu výmeny stránok, ktorá vždy odstráni blok, ktorý bude potrebný najneskôr. Prvý predpoklad je síce v reálnych systémoch nepraktický, no z teoretického hľadiska je v poriadku. Druhý predpoklad je nerealizovateľný, keďže by stratégia výmeny stránok musela predpovedať budúce kroky algoritmu. Nasledovné lemy však ukazujú, že aj bez týchto predpokladov na reálnom systéme s nízkou asociativitou a jednoduchou stratégiou výmeny stránok sa algoritmus zhorší len o konštantný faktor.

Lema 1.2.1. *Algoritmus, ktorý v ideálnej cache veľkosti M s blokmi veľkosti B vykoná T pamäťových operácií, vykoná najviac $2T$ pamäťových operácií v cache veľkosti $2M$ s blokmi veľkosti B pri použití stratégie LRU alebo FIFO. [12, Lemma 12]*

Lema 1.2.2. *Plne asociatívna cache veľkosti M sa dá simulovať s použitím $\mathcal{O}(M)$ pamäte tak, že prístup ku každému bloku v cache zaberie v priemernom prípade $\mathcal{O}(1)$ času. [12, Lemma 16]*

1.3 Prehľad výsledkov v cache-oblivious modeli

V tejto práci sa budeme venovať prevažne problému vyhľadávacích stromov, konkrétne B-stromom. V nasledujúcej kapitole uvidíme ich fungovanie a analýzu počtu pamäťových presunov v *external-memory* modeli. V tretej kapitole popíšeme vizualizácie, ktoré sme pre tieto štruktúry vytvorili. Pre širší rozhľad v tejto problematike uvádzame v tabuľke 1.2 na strane 8 zoznam niekoľkých bežných problémov. Ku každému uvádzame ako príklad najlepšie známe *cache-aware* a *cache-oblivious* algoritmy a dátové štruktúry, ktoré ten problém riešia, spolu s ich asymptotickou analýzou.

Tabuľka 1.2: Prehľad výsledkov *cache-aware* a *cache-oblivious* algoritmov a dátových štruktúr pre rôzne problémy. Odhady udávajú počet pamäťových operácií, pričom M a B sú parametre *cache*.

Vyhľadávacie stromy	Vyhľadávanie	Vkladanie	Prechod ²
<i>cache-aware</i> B-strom	$\mathcal{O}(\log_B N)$	$\mathcal{O}(\log_B N)$	$\mathcal{O}(\frac{K}{B})$ [5, 24]
<i>cache-oblivious</i> B-strom	$\mathcal{O}(\log_B N)$	$\mathcal{O}(\log_B N + \frac{\log^2 N}{B})^1$	$\mathcal{O}(\frac{K}{B})$ [6, 7, 8], časť 2.4
<i>cache-oblivious</i> B-strom	$\mathcal{O}(\log_B N)$	$\mathcal{O}(\log_B N)^1$	$\mathcal{O}(\log_B N)^1$ [6, 7, 8], časť 2.5
Usporiadaná postupnosť	Vkladanie	Prechod ²	
<i>cache-aware</i> spájaný zoznam	$\mathcal{O}(1)^1$	$\mathcal{O}(\frac{K}{B})$	[10, 19]
<i>cache-oblivious</i> usporiadané pole	$\mathcal{O}(\frac{\log^2 N}{B})^1$	$\mathcal{O}(\frac{K}{B})$	[6], časť 2.3
<i>cache-oblivious</i> usporiadané pole	$\mathcal{O}(\frac{\log^2 N}{B})$	$\mathcal{O}(\frac{K}{B})$	[9]
Triedenie			
<i>cache-aware</i> mergesort	$\mathcal{O}(\frac{N}{B} \log_{M/B} \frac{N}{B})$		[10, 24]
<i>cache-oblivious</i> funnelsort	$\mathcal{O}(\frac{N}{B} \log_{M/B} \frac{N}{B})$		[4, 10]
Prioritné fronty	Vkladanie	Výber minima	
<i>cache-aware</i> buffer tree	$\mathcal{O}(\frac{1}{B} \log_{M/B} \frac{N}{B})^1$	$\mathcal{O}(\frac{1}{B} \log_{M/B} \frac{N}{B})^1$	[3]
<i>cache-oblivious</i> prioritná fronta	$\mathcal{O}(\frac{1}{B} \log_{M/B} \frac{N}{B})^1$	$\mathcal{O}(\frac{1}{B} \log_{M/B} \frac{N}{B})^1$	[4, 10]

¹ Amortizovaná zložitosť

² Prechod K po sebe idúcich prvkov

Cache-oblivious algoritmy a dátové štruktúry

V tejto kapitole popíšeme niekoľko *cache-oblivious* algoritmov a dátových štruktúr, spolu s ich pamäťovou analýzou v *cache-oblivious* modeli. Zároveň uvedieme ekvivalentnú *cache-aware* dátovú štruktúru a vzájomne ich porovnáme. Najskôr sa však pozrieme na jeden jednoduchý príklad, ako túto analýzu riešime.

2.1 Základný algoritmus

Na demonštráciu *cache-oblivious* algoritmov a ich analýzy v *external-memory* modeli použijeme jednoduchý algoritmus, ktorý počíta agregáčnú funkciu nad hodnotami uloženými v poli. Uvažujeme pole $A = \{a_1, \dots, a_n\}$ a danú funkciu g s počiatočnou hodnotou g_0 . Chceme vypočítať hodnotu $f_g(A)$, kde f_g je rozšírenie agregáčnej funkcie definované nasledovne:

$$\begin{aligned} f_g(\{a_1, \dots, a_k\}) &= g(a_k, f(\{a_1, \dots, a_{k-1}\})) \\ f_g(\emptyset) &= g_0 \end{aligned}$$

Túto funkciu je možné implementovať jednoducho ako jeden cyklus. Schematickú verziu implementácie uvádzame v algoritme 2.1. Tento algoritmus s použitím vhodnej funkcie g a hodnoty g_0 je možné použiť na rôzne, často užitočné výpočty, ako napríklad maximum, minimum, suma a podobne:

$$\begin{aligned} g^{\max}(x, y) &= \max(x, y) & g_0^{\max} &= -\infty \\ g^{\text{sum}}(x, y) &= x + y & g_0^{\text{sum}} &= 0 \end{aligned}$$

Algoritmus 2.1 Implementácia agregáčnej funkcie f_g

```

1: function AGGREGATE( $g, g_0, A$ )
2:    $y \leftarrow g_0$ 
3:   for  $i \leftarrow 1, \dots, |A|$  do
4:      $y \leftarrow g(A[i], y)$ 
5:   return  $y$ 

```

2.1.1 Analýza zložitosti**Časová analýza**

Klasická časová analýza tohto algoritmu je triviálna ak uvažujeme *RAM* model. Keďže prístup ku každému prvku $A[i]$ zaberie konštantný čas a za predpokladu, že čas na výpočet funkcie g je nezávislý na vstupe, bude výsledný čas na výpočet tejto funkcie lineárny od veľkosti poľa N , teda $T(N) = \mathcal{O}(N)$.

Analýza počtu pamäťových presunov

V prípade *cache-aware* algoritmu by sme pole A mali uložené v $\lceil \frac{N}{B} \rceil$ blokoch veľkosti B . Pri výpočte by sme postupne tieto bloky načítali do cache a pracovali s nimi. V rámci jedného bloku počas výpočtu nedochádza k pamäťovým presunom. Zároveň stačí každý prvok spracovať raz a teda celkový počet pamäťových operácií bude presne rovný počtu blokov, $\lceil \frac{N}{B} \rceil$. Tento algoritmus však požaduje znalosť parametra B a zarovnať pole v pamäti tak, aby zabralo najmenší potrebný počet blokov.

Jednoducho však vieme dosiahnuť (takmer) rovnakú zložitosť aj v prípade *cache-oblivious* algoritmu 2.1, ktorý žiadne parametre pamäte zjavne nevyužíva a nepozná. Budeme predpokladať, že pole A je uložené v súvislom úseku pamäte - to je možné dosiahnuť aj bez znalosti parametrov pamäte. Zvyšok algoritmu prebieha rovnako ako v predchádzajúcom prípade. Každý blok obsahujúci nejaký prvok poľa A bude teda presunutý do cache práve raz, a žiadne iné presuny nenastanú. Ostáva zistiť, koľko takých blokov môže byť.

Keďže nepoznáme veľkosti blokov v pamäti, nevieme pri ukladaní prvkov poľa zaradiť zarovnanie so začiatkom bloku. V najhoršom prípade uložíme do prvého bloku iba jeden prvok. Potom bude nasledovať $\lfloor \frac{N}{B} \rfloor$ plných blokov a nakoniec ešte najviac jeden blok, ktorý opäť nie je plný. Spolu máme teda $\lfloor \frac{N}{B} \rfloor + 2$ blokov.

Pokiaľ $\lfloor \frac{N}{B} \rfloor < \lceil \frac{N}{B} \rceil$ máme spolu najviac $\lceil \frac{N}{B} \rceil + 1$ blokov. V opačnom prípade B delí N , teda v prvom a poslednom bloku je spolu presne B prvkov a medzi nimi sa nachádza najviac $\frac{N-B}{B} = \frac{N}{B} - 1$ plných. Teda blokov je vždy najviac $\lceil \frac{N}{B} \rceil + 1$.

Zostrojili sme teda *cache-oblivious* algoritmus s asymptoticky rovnakou zložitou $\mathcal{O}(\frac{N}{B})$ ako optimálny *cache-aware* algoritmus, ktorého implementácia je však jednoduchšia, keďže nemusí explicitne spravovať presun blokov do cache. Parameter B sme použili len počas analýzy, v samotnom návrhu algoritmu nie.

2.2 Vyhľadávanie v statickej množine

Častým problémom v informatike je nutnosť rýchlo a efektívne vyhľadávať prvok v nejakej statickej množine prvkov. Tento problém by šiel riešiť hašovaním, budeme však uvažovať usporiadanú množinu, v ktorej chceme vedieť efektívne prísť k predchádzajúcemu a nasledujúcemu prvku. V tejto sekcii popíšeme niekoľko algoritmov a dátových štruktúr, ktoré tento problém riešia. Všetky majú v *RAM* modeli časovú zložitosť $\mathcal{O}(\log N)$, kde N je počet prvkov v prehľadávanej množine, no v *cache-aware* a *cache-oblivious* modeloch sa budú líšiť počtom pamäťových presunov, ktoré vykonajú.

Tento rozdiel je spôsobený iným usporiadaním prvkov v pamäti. Keďže majú všetky uvedené prístupy logaritmickú časovú zložitosť bude počet presunutých blokov najviac $\mathcal{O}(\log N)$. V tomto odhade však nevystupujú žiadne parametre *cache* a teda ich zväčšenie tento algoritmus nemusí urýchliť. Ukážeme ale dátovú štruktúru, ktorá dosahuje podstatne lepší výsledok $\mathcal{O}(\log_B N)$ a bude nám tiež slúžiť ako základ pri riešení dynamickej verzie tohto problému.

2.2.1 Binárne vyhľadávanie

Ako prvé popíšeme binárne vyhľadávanie, ktoré je asi najznámejšie. V algoritme 2.2 uvádzame implementáciu, ktorá nájde prvok K v usporiadanom poli $A[0, \dots, N-1]$, pre ktoré platí $\forall i, j; 0 \leq i < j < N : A[i] \leq A[j]$.

Algoritmus 2.2 Implementácia binárneho vyhľadávania

```

1: function FIND( $A, K$ )
2:    $left \leftarrow 0$ 
3:    $right \leftarrow N$ 
4:   while  $left < right$  do
5:      $mid \leftarrow \lfloor \frac{left+right}{2} \rfloor$ 
6:     if  $A[mid] = K$  then
7:       return  $mid$ 
8:     else if  $A[mid] > K$  then
9:        $right \leftarrow mid$ 
10:    else
11:       $left \leftarrow mid + 1$ 
12:    return  $K \notin A$ 

```

Vidíme, že táto implementácia binárneho vyhľadávania nikde nepožaduje znalosť parametrov B ani M a teda ide o *cache-oblivious* algoritmus, tak ako v prípade agregčného algoritmu 2.1.

Analýza zložitosti

Pri každej iterácii zmenšíme oblasť, ktorú treba preskúmať na polovicu. Počet iterácií a celková zložitosť bude teda riešenie rekurentného vzťahu

$$T(N) = T(N/2) + \mathcal{O}(1)$$

V prípade časovej analýzy je bázou rekurencie $T(1) = \mathcal{O}(1)$ a výsledná časová zložitosť bude $T(N) = \mathcal{O}(\log N)$.

Pri pamäťovej analýze bude bázou $T(B) = \mathcal{O}(1)$, pretože po zredukovaní prehľadávaného intervalu na veľkosť B vieme všetky potenciálne prvky načítať v $\mathcal{O}(1)$ blokoch a k ďalším presunom už nedôjde. Riešením a celkovou pamäťovou zložitou teda bude $T(N) = \mathcal{O}(\log N - \log B) = \mathcal{O}(\log \frac{N}{B})$.

Ako však uvidíme v ďalšej sekcii, toto riešenie nie je optimálne.

2.2.2 Cache-aware riešenie

V prípade, že poznáme veľkosť blokov B v cache, môžeme problém vyhľadávacích stromov riešiť B-stromom [5] s vetvením $\Theta(B)$. Každý vrchol teda vieme načítať s použitím $\mathcal{O}(1)$ pamäťových presunov. Výška takého B-stromu, ktorý má N listov, bude $\mathcal{O}(\log_B N)$. Celkovo teda vyhľadávanie v tomto strome vykoná $\mathcal{O}(\log_B N)$ pamäťových presunov.

Toto je lepší výsledok ako dosahuje binárne vyhľadávanie. Stále však zostáva otázka, či neexistuje ešte efektívnejšie riešenie. Pozrime sa teda na spodnú hranicu tohto problému.

2.2.3 Spodná hranica pre vyhľadávanie

Pri vyhľadávaní potrebujeme prístup k aspoň $\Omega(\log N)$ prvkom. Tie by v ideálnom prípade boli uložené v $\Omega(\frac{\log N}{B})$ blokoch, čo tvorí spodnú hranicu počtu pamäťových presunov. Tento odhad je ale príliš optimistický – ako ukážeme odvodením väčšej spodnej hranice, nie je možné ho dosiahnuť.

Toto odvodenie spravíme rovnako ako v [10] technikou informačnej zložitosti. Na nájdenie daného prvku v množine obsahujúcej N položiek potrebujeme získať $\lg(2N+1)$ informačných bitov reprezentujúcich pozíciu tohto prvku – N možných existujúcich prvkov a $N+1$ pozícií medzi nimi (a na okrajoch) pre neexistujúci prvok. V každom pamäťovom presune načítame jeden blok veľkosti B , ktorý môže obsahovať najviac $\lg(2B+1)$ bitov informácie – hľadaný prvok je jeden z týchto B prvkov alebo patrí v usporiadaní niekam medzi ne. V najlepšom prípade je teda potrebných aspoň

$$\frac{\lg(2N+1)}{\lg(2B+1)} \geq \frac{\lg N}{\lg B} = \Omega(\log_B N)$$

pamäťových presunov. Tento odhad je na rozdiel od predchádzajúceho dosiahnuteľný, napríklad práve *cache-aware* B-stromami.

Vidíme teda, že na rozdiel od *cache-oblivious* binárneho vyhľadávania, je *cache-aware* B-strom asymptoticky optimálnym riešením tohto problému. Chceli by sme teraz nájsť *cache-oblivious* dátovú štruktúru, ktorá tiež dosahuje túto hranicu.

2.2.4 Naivné *cache-oblivious* riešenie

Predtým ako popíšeme efektívne *cache-oblivious* riešenie, sa pozrime na klasický binárny vyhľadávací strom. Asi najjednoduchší spôsob, ako usporiadať uzly (statického) binárneho stromu v pamäti, je nasledovný. Koreň uložíme na pozíciu 1. Ľavého a pravého potomka vrcholu na pozícii x uložíme na pozície $2x$ a $2x + 1$. Otec vrcholu x bude teda na pozícii $\lfloor \frac{x}{2} \rfloor$. Toto usporiadanie voláme *BFS usporiadanie* (z anglického *breadth-first search* – prehľadávanie do šírky), keďže pozície vrcholov sa zvyšujú v rovnakom poradí ako by prebiehalo prehľadávanie tohto stromu do šírky. Príklad takto uloženého stromu je na obrázku 2.2(a).

Výhodou tohto usporiadania sú implicitné vzťahy medzi vrcholmi. Na udržiavanie stromu stačí jednorozmerné pole kľúčov. Na prechod medzi nimi môžeme použiť triviálne funkcie uvedené v algoritme 2.3.

Algoritmus 2.3 Funkcie pre získanie pozícií ľavého syna, pravého syna a rodiča vrcholu na pozícii x

1: function LEFT(x)	1: function RIGHT(x)	1: function PARENT(x)
2: return $2x$	2: return $2x + 1$	2: return $\lfloor \frac{x}{2} \rfloor$

Nevýhodou je však vysoký počet pamäťových presunov pri vyhľadávaní. Výška tohto stromu je¹ $\mathcal{O}(\log N)$. Pri načítaní vrcholu na pozícii x sa v rovnakom bloku nachádzajú vrcholy na pozíciách

$$x - k, \dots, x - 1, x, x + 1, \dots, x + l$$

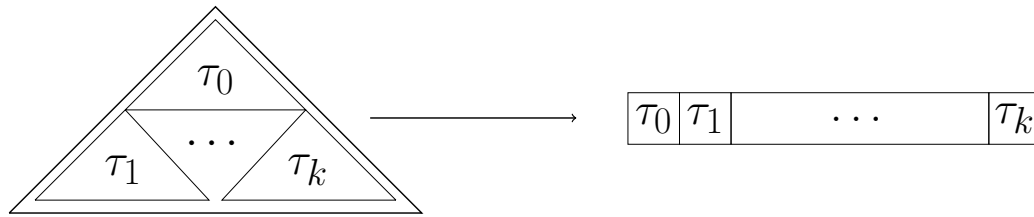
kde $k + l = B - 1$. Pri ďalšom kroku vyhľadávania budeme potrebovať vrchol $2x$ alebo $2x + 1$ a teda nás pozície menšie ako x nezaujímajú. V najlepšom prípade teda bude $k = 0$ a $l = B - 1$. Aby sa v tomto intervale nachádzali požadované vrcholy, musí platiť

$$2x + 1 \leq x + l = x + B - 1$$

$$x \leq B - 2$$

To znamená, že pre pozície $x > B - 2$ už bude potrebný pamäťový presun pre každý vrchol. Vrchol s pozíciou $B - 2$ bude mať hĺbku $\mathcal{O}(\log B)$ a teda počet vrcholov na ceste

¹Nejde o vyvažovaný binárny strom a teda by výška mohla byť až $\mathcal{O}(N)$. Keďže však pracujeme so statickými dátami, môžeme ich vopred usporiadať a vyrobiť vyvážený statický strom



Obrázok 2.1: Schematické znázornenie rekurzívneho delenia pri *van Emde Boasovom* usporiadaní. Podstromy τ_0, \dots, τ_k sa uložia do súvislého úseku pamäte.

z koreňa do listu, ktorých pozície v pamäti sú väčšie ako $B - 2$ bude $\Omega(\log N - \log B)$. Pre každý z nich je potrebné vykonať pamäťový presun a teda vyhľadávanie v takto usporiadanom binárnom strome vykoná $\Omega(\log \frac{N}{B})$ pamäťových presunov, čo je rovnako ako binárne vyhľadávanie horšie v porovnaní s *cache-aware* B-stromom.

2.2.5 Vyhľadávací strom vo *van Emde Boasovom* usporiadaní

Problémom predošlého riešenia je neefektívne usporiadanie v pamäti - pri prístupe ku vrcholu sa spolu s ním v rovnakom bloku nachádzajú vrcholy, ktoré nie sú pre ďalší priebeh algoritmu podstatné.

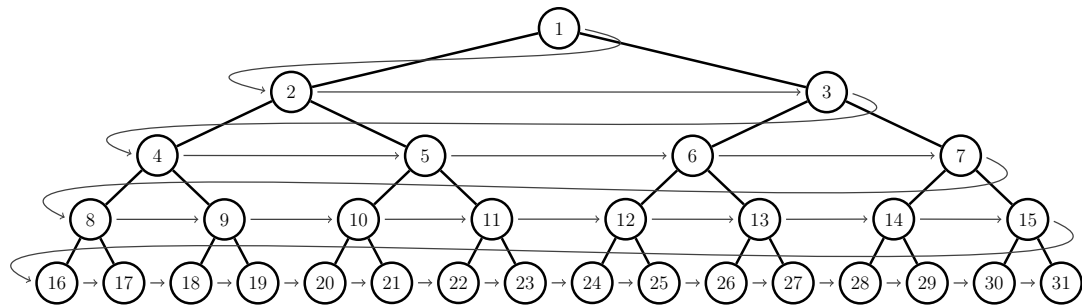
Možným riešením je takzvané *van Emde Boasovo usporiadanie* (*van Emde Boas layout*, nazvané podľa *van Emde Boasových* stromov s podobnou myšlienkou), ktoré popísali Bender et al. [6, 7]. Toto usporiadanie vznikne rekurzívnym delením, ktoré schéma je na obrázku 2.1 a príklad takto uloženého stromu na obrázku 2.2(b).

Uvažujme úplný binárny strom výšky h . Ak $h = 1$ tak máme iba jeden vrchol v a výstupom usporiadania bude poradie (v) .

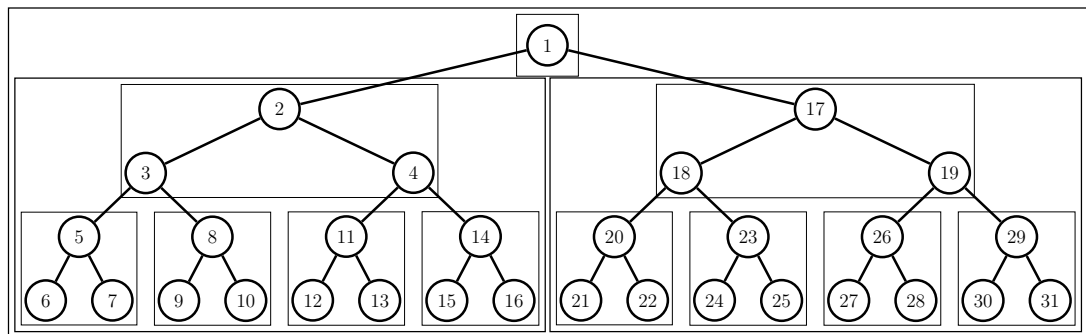
Pre $h > 1$ označme $m = \max_{i \in \mathbb{N}} \{2^i \mid 2^i < h\}$, teda najväčšiu mocninu dvoch menšiu ako h . Rozdelíme vstupný strom na podstrom τ_0 výšky $h - m$, ktorého koreňom je koreň pôvodného stromu. Zostanú nám podstromy τ_1, \dots, τ_k výšky m (obrázok 2.1). Korene týchto podstromov sú potomkovia listov τ_0 a ich z listy sú listy vstupného stromu. Všetky tieto podstromy majú približne polovičnú výšku a teda ich veľkosť je $\Theta(\sqrt{N})$ kde N je veľkosť vstupného stromu, keďže $\frac{h}{2} = \frac{1}{2} \lg N = \lg \sqrt{N}$. Rekurzívne ich uložíme do *van Emde Boasovho* usporiadania a následne uložíme za seba, výstupom teda bude poradie $(\tau_0, \tau_1, \dots, \tau_k)$.

Prechod stromom v pamäti

Na rozdiel od klasického *BFS* usporiadania nie je pri takomto usporiadaní v pamäti triviálne zistiť, na akej pozícii sa nachádzajú potomkovia alebo rodič aktuálneho vrcholu. Jedným možným riešením je spolu s každým vrcholom ukladať aj ukazovateľ na tieto relevantné vrcholy. Tým znížime počet vrcholov, ktoré sa zmestia do jedného bloku o konštantný násobok - v prípade, že je kľúč rovnako veľký ako ukazovateľ, bude počet vrcholov v jednom bloku štvrtina pôvodného počtu.



(a) Klasické usporiadanie



(b) van Emde Boasovo usporiadanie

Obrázok 2.2: Porovnanie klasického a *van Emde Boasovho* usporiadania na úplnom binárnom strome výšky 5. Čísla vo vrchoch určujú poradie v pamäti.

Iným riešením je vnútorne pracovať s *BFS* usporiadaním a prechádzať medzi pozíciami funkciami uvedenými v algoritme 2.3. Pri prístupe k vrcholu túto *BFS* pozíciu prevedieme na ekvivalentnú pozíciu vo *van Emde Boasovom* usporiadaní. Pri strome s N vrcholmi je možné túto konverziu realizovať v čase $\mathcal{O}(\log \log N)$ [15].

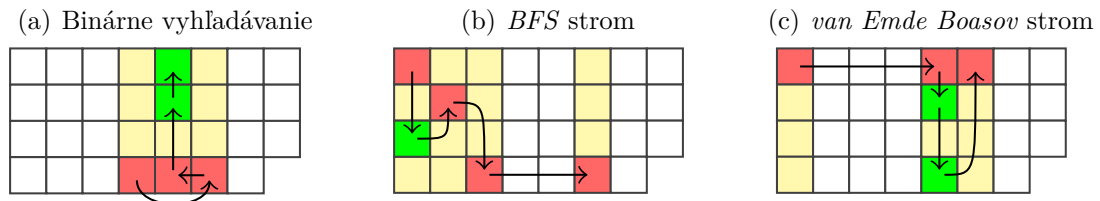
Vyhľadávanie

Pri analýze vyhľadávania sa pozrieme na také podstromy predošlého delenia, že ich veľkosť je $\Theta(B)$. Ďalšie delenie a preusporiadanie je už zbytočné, no to *cache-oblivious* algoritmus nemá ako vedieť. Keďže ale po rekurzívnom volaní získame len iné usporiadanie, ktoré uložíme v súvislom úseku pamäte, bude stále možné tento podstrom načítať v $\mathcal{O}(1)$ blokoch.

Majme teda vyhľadávací strom zložený z takýchto podstromov, ktorých veľkosť je medzi $\Omega(\sqrt{B})$ a $\mathcal{O}(B)$. Ich výška je teda $\Theta(\log B)$. Pri strome výšky $\mathcal{O}(\log N)$ teda prejdeme cez $\mathcal{O}(\frac{\log N}{\log B})$ takých podstromov a každý vyžaduje konštantný počet pamäťových presunov. Spolu sa ich teda vykoná $\mathcal{O}(\log_B N)$, čo zodpovedá spodnej hranici tohto problému.

2.2.6 Rozdiely v prístupe ku pamäti

Rozdiely medzi binárnym vyhľadávaním a statickými vyhľadávacími stromami v *BFS* a *van Emde Boas* usporiadaní vizuálne znázorňujú obrázky 2.4 a 2.5 na strane 18. Pozrime sa však najskôr na menší obrázok 2.3, na ktorom vysvetlíme princíp tejto vizualizácie.



Obrázok 2.3: Porovnanie prístupov ku pamäti v rôznych štruktúrach pri vyhľadávaní hodnoty 17 medzi 31 prvkami

Jednotlivé políčka sú položky poľa, pričom v pamäti sú usporiadané v poradí zhora nadol a zľava doprava. Samotné kľúče (vo vrchoch stromov) sú však usporiadané inak a preto sú tieto prístupy inak efektívne. Vo všetkých prípadoch vyhľadávame prvok v množine $\{1, \dots, 2^h - 1\}$, čo je počet vrcholov úplného binárneho stromu výšky h . Farby označujú stav políčka v simulovanej *cache* s veľkosťou bloku $B = 4$. Bloky sú zarovnané tak, že jeden stĺpec predstavuje jeden blok a teda sa pri načítaní ľubovoľného políčka spolu s ním načíta celý príslušný stĺpec.

Červená farba reprezentuje prvky, ktoré sa v momente prístupu nenachádzali v *cache* a bolo potrebné ich načítať (*cache miss*). Zelená naopak označuje prvky, ktoré už v *cache* boli (*cache hit*) – načítali sa spolu s nejakým červeným prvkom v rovnakom bloku. Ostatné prvky, ktoré sa načítali ako súčasť bloku ale neboli použité, sú označené žltou farbou. V tejto simulácii je počet blokov v *cache* ($\frac{M}{B}$) pre jednoduchosť neobmedzený.

V malom obrázku 2.3 (výška stromu $h = 5$) šípky určujú poradie, v akom vyhľadávanie pristupovalo k jednotlivým prvkom. Vo veľkých obrázkoch 2.4 a 2.5 (výška stromu $h = 9$) sú šípky pre prehľadnosť vynechané a políčko s bodkou označuje pozíciu, na ktorej bol napokon požadovaný prvok nájdený. Rozdiely medzi týmito tromi prístupmi k vyhľadávaniu je lepšie vidieť práve na väčších obrázkoch.

Keďže všetky hľadané hodnoty boli zvolené ako listy týchto vyhľadávacích stromov, pristúpili operácie vyhľadávania vo všetkých troch prípadoch práve k h prvkom. Rozdiel je však v pomere počtu červených (ktoré v *cache* neboli a bolo ich potrebné načítať) a zelených (na ktoré nebol potrebný pamäťový presun) prvkov.

Ako ľahko vidieť, binárne vyhľadávanie začne v strede a presúva sa medzi prvkami, ktoré sú od seba čoraz menej vzdialené až do momentu, kedy už je prehľadávaný interval dostatočne malý na to, aby sa zmestil do bloku.

Naopak strom v *BFS* usporiadaní robí stále väčšie a väčšie *skoky* a porovnávané prvky sa do jedného bloku zmestia iba na začiatku.

Avšak strom vo *van Emde Boasovom* usporiadaní potom čo pristúpi k nejakému prvku v ďalších krokoch pristupuje k prvkom, ktoré sú v pamäti blízko a veľký *skok*, ktorý pristúpi mimo *cache*, vykonáva menej často. Vďaka tomu dosahuje v oboch prípadoch najlepší počet zásahov do *cache*, teda najviac zelených políčok.

2.2.7 Dynamická verzia vyhľadávacieho stromu

V časti 2.2.5 sme popísali štruktúru, ktorá dokáže vyhľadávať v usporiadanej statickej množine optimálne, rovnako ako *cache-aware* B-stromy. Problémom tejto dátovej štruktúry je však nemožnosť efektívne vkladať či odoberať prvky - pri každej zmene by bolo potrebné strom preusporiadať. Dostávame tak *cache-oblivious* ekvivalent statických *cache-aware* B-stromov.

Na úpravu tohto statického stromu tak, aby efektívne zvládal operácie pridávania a odstraňovania, budeme potrebovať pomocnú dátovú štruktúru, ktorú popíšeme v nasledovnej sekcii.

2.3 Usporiadané pole

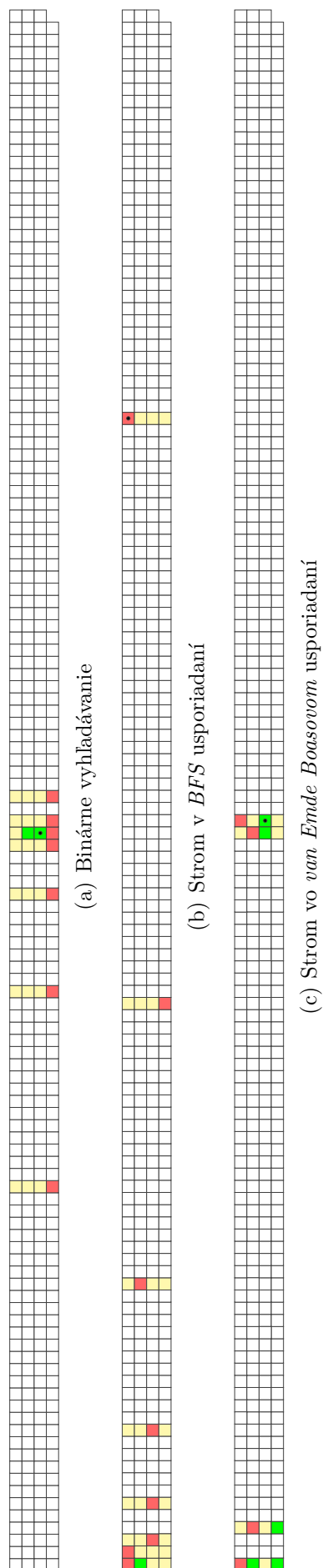
Problémom *údržby usporiadaného poľa* (z anglického *ordered-file maintenance*) budeme volať problém spočívajúci v udržiavaní zoradenej postupnosti N prvkov vo forme súvislého poľa veľkosti $\mathcal{O}(N)$. V tomto poli teda môžu byť *medzery* veľkosti najviac $\mathcal{O}(1)$, vďaka čomu bude načítanie K po sebe idúcich prvkov vyžadovať $\mathcal{O}(\frac{K}{B})$ pamäťových presunov. Do tejto postupnosti musí byť možné efektívne vkladať prvky na ľubovoľnú danú pozíciu a tiež odstraňovať existujúce prvky.

Dátovou štruktúrou, ktorá tento problém rieši efektívne je *štruktúra zhustenej pamäte* (*packed-memory structure*). Myšlienka tejto štruktúry spočíva v zostrojení binárneho stromu nad prvkami tohto poľa a udržiavaní *hustoty* – podielu plných a všetkých pozícií – pre každý vrchol v konštantných hraniciach. Tým zaručíme, že štruktúra nebude ani príliš plná, čo by spôsobovalo pri vkladaní nutnosť presúvať veľké množstvo existujúcich prvkov na uvoľnenie miesta, a ani príliš prázdna, čo by spôsobovalo pomalé prechádzanie kvôli veľkým medzerám.

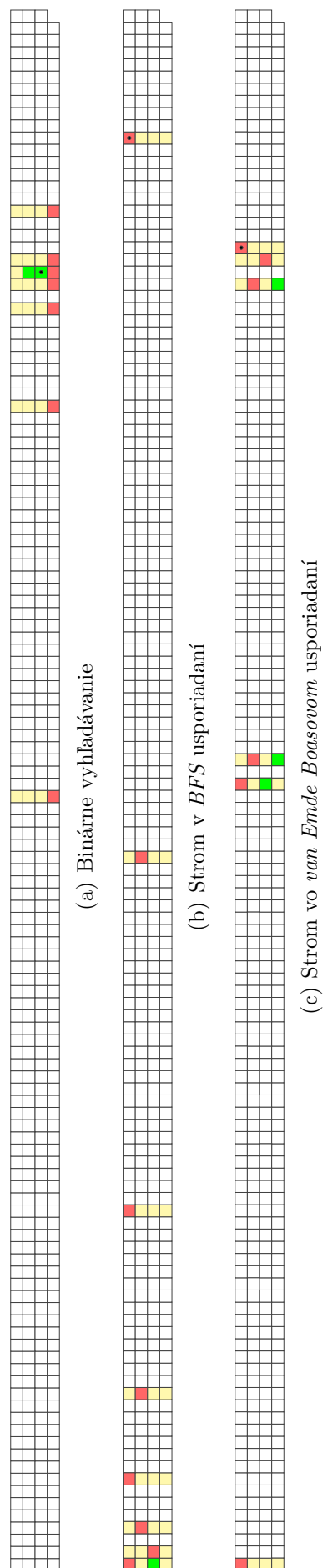
2.3.1 Popis štruktúry

Budeme používať verziu z [6] s malými úpravami. Celá dátová štruktúra pozostáva z jedného poľa veľkosti $T = 2^h$. To (pomyselne) rozdelíme na *bloky* veľkosti $S = \Theta(\log N)$, tak aby $S = 2^l$. Počet blokov tak bude tiež mocnina dvoch.

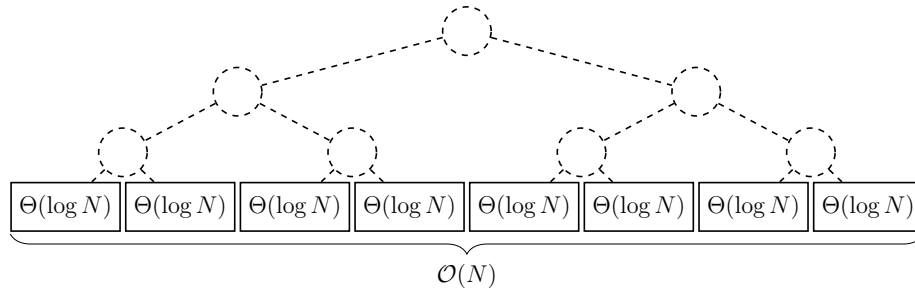
Nad týmito blokmi zostrojíme (imaginárny) úplný binárny strom (obrázok 2.6). *Hĺbkou* vrcholu označíme jeho vzdialenosť od koreňa, pričom koreň má hĺbku 0 a listy



Obrázok 2.4: Porovnávanie prístupov ku pamäti v rôznych štruktúrach pri vyhľadávaní hodnoty 243 medzi 511 prvkami



Obrázok 2.5: Porovnávanie prístupov ku pamäti v rôznych štruktúrach pri vyhľadávaní hodnoty 427 medzi 511 prvkami



Obrázok 2.6: Usporiadané pole veľkosti N . Strom nad blokmi je len imaginárny a nezostrojuje sa v pamäti.

majú hĺbkou $d = h - l$. Na popis operácií budeme potrebovať definície *hustoty* a *hraníc hustoty*, ktoré uvedieme v nasledovnej časti.

2.3.2 Definícia hustoty

Kapacitou vrcholu v , $c(v)$, označíme počet položiek (aj prázdnych) poľa patriacich do blokov v podstrome začínajúcom v tomto vrchole. Kapacita listov bude teda S , ich rodičov $2S$ a kapacita koreňa bude T . Podobne budeme počet neprázdnych položiek v podstrome vrcholu v volať *obsadnosť* a značiť $o(v)$.

Hustotou, $0 \leq d(v) \leq 1$, označíme $d(v) = \frac{o(v)}{c(v)}$. Zvoľme ľubovoľné konštanty $\rho_0, \tau_0, \rho_d, \tau_d$ spĺňajúce

$$0 < \rho_d < \rho_0 < \tau_0 < \tau_d < 1$$

Z týchto konštánt definujeme pre vrchol s hĺbkou k *dolnú* a *hornú hranicu hustoty* (ρ_k a τ_k) následovne:

$$\rho_k = \rho_0 + \frac{k}{d}(\rho_d - \rho_0) \quad \tau_k = \tau_0 - \frac{k}{d}(\tau_0 - \tau_d)$$

Dostaneme tak postupnosť hraníc pre všetky hĺbky, pričom platí $(\rho_i, \tau_i) \subset (\rho_{i+1}, \tau_{i+1})$ a teda sa tieto intervaly smerom od listov ku koreňu zmenšujú:

$$0 < \rho_d < \rho_{d-1} < \dots < \rho_0 < \tau_0 < \tau_1 < \dots < \tau_d < 1$$

Hovoríme, že vrchol v hĺbkou k je v *hraniciach hustoty* ak platí $\rho_k \leq d(v) \leq \tau_k$.

2.3.3 Operácie

Vkladanie

Implementácia operácie vkladania sa skladá z niekoľkých krokov. Najskôr zistíme, do ktorého bloku v spadá pozícia, na ktorú vkladáme. Pozrieme sa, či je tento blok v hraniciach hustoty. Ak áno tak platí $d(v) < 1$ a teda $o(v) < c(v)$, čiže v tomto bloku

je voľné miesto. Môžeme teda zapísať novú hodnotu do tohto bloku, pričom môže byť potrebné hodnoty v bloku popresúvať, avšak zmení sa najviac $S = \Theta(\log N)$ pozícií.

V opačnom prípade je tento blok mimo hraníc hustoty. Budeme postupovať hore v strome dovtedy, kým nenájdeme vrchol v hraniciach. Keďže strom je iba pomyselný, budeme túto operáciu realizovať pomocou dvoch súčasných lineárnych prechodov k okrajom poľa. Počas tohto prechodu si udržiavame počítadlá neprázdnych a všetkých pozícií, ktoré inicializujeme podľa tohto bloku. Ďalej postupujeme následovne.

V prípade, že je hustota (podiel počítadiel) podstromu reprezentujúceho práve prejdenný interval mimo hraníc hustoty, posunieme sa v pomyselnom strome nahor. To dosiahneme prechodom doľava alebo doprava o práve toľko pozícií ako je veľkosť už prejdenného intervalu. Tento postup ukončíme v momente, keď hustota dosiahne požadované hranice.

Po nájdení takéhoto vrcholu v hraniciach rovnomerne rozdelíme všetky hodnoty v blokoch prislúchajúcich danému podstromu. Keďže intervaly pre hranice sa smerom k listom iba rozširujú budú po tomto popresúvaní všetky vrcholy tohto podstromu v hraniciach hustoty a teda aj požadovaný blok bude obsahovať aspoň jednu prázdnu pozíciu. Môžeme teda novú hodnotu vložiť ako v prvom kroku.

Ak nenájdeme taký vrchol, ktorého hustota by bola v hraniciach, a teda aj koreň je mimo hraníc, je táto štruktúra príliš plná. V takom prípade zostrojíme nové pole dvojnásobnej veľkosti a všetky prvky rovnomerne rozmiestnime do nového poľa.

Odstraňovanie

Operácia odstraňovania prebieha analogicky. Ako prvé požadovanú položku odstránime z prislúchajúceho bloku. Ak je tento blok aj naďalej v hraniciach hustoty tak skončíme, inak postupujeme nahor v strome, kým nenájdeme vrchol v hraniciach. Následne rovnomerne prerozdélime položky blokoch daného podstromu.

Pokiaľ taký vrchol nenájdeme, je pole príliš prázdne a zostrojíme nové polovičnej veľkosti a rovnomerne do neho rozmiestnime zostávajúce položky pôvodného.

2.3.4 Analýza

Pri vkladaní aj odstraňovaní sa upraví súvislý interval I , ktorý sa skladá z niekoľkých blokov. Nech pri nejakej operácii došlo k prerozdeleniu prvkov v blokoch prislúchajúcich podstromu vrcholu u v hĺbke k . Teda pred týmto prerozdelením bol vrchol u v hraniciach hustoty ($\rho_k \leq d(u) \leq \tau_k$) ale nejaký jeho potomok v nebol.

Po prerozdelení budú všetky vrcholy v danom podstromu v hraniciach hustoty, avšak nie len v svojich, ale keďže sme prerozdělili podstrom vrcholu u , tak aj v hraniciach pre hĺbku k , ktoré sú tesnejšie. Bude teda platiť $\rho_k \leq d(v) \leq \tau_k$. Najmenší počet operácii vloženia, q , potrebný na to, aby bol vrchol v opäť mimo hraníc je

$$\begin{aligned}
\frac{o(v)}{c(v)} = d(v) &\leq \tau_k & \frac{o(v) + q}{c(v)} &> \tau_{k+1} \\
o(v) &\leq \tau_k c(v) & o(v) + q &> \tau_{k+1} c(v) \\
q &> (\tau_{k+1} - \tau_k) c(v)
\end{aligned}$$

Podobne pre prekročenie dolnej hranice je potrebných aspoň $(\rho_k - \rho_{k+1})c(v)$ operácií odstránenia.

Pri úprave intervalu blokov v podstrome vrcholu u je potrebné upraviť najviac $c(u)$ položiek, avšak táto situácia nastane až keď sa potomok v ocitne znovu mimo hraníc hustoty. Priemerná veľkosť intervalu, ktorý treba preusporiadať pri vložení do podintervalu prislúchajúceho vrcholu v teda bude

$$\frac{c(u)}{(\tau_{k+1} - \tau_k)c(v)} = \frac{2c(v)}{(\tau_{k+1} - \tau_k)c(v)} = \frac{2}{\tau_{k+1} - \tau_k} = \frac{2d}{\tau_d - \tau_0} = \mathcal{O}(\log T)$$

keďže τ_d a τ_0 sú konštanty a výška úplného binárneho stromu d s T listami je $d = \Theta(\log T)$. Podobným spôsobom dostaneme rovnaký odhad pre odstraňovanie.

Pri vkladaní a odstraňovaní prvku ovplyvníme najviac d podintervalov – tie, ktoré prislúchajú vrcholom na ceste z daného listu (bloku) do koreňa. Spolu teda bude veľkosť upraveného intervalu v priemernom prípade $\mathcal{O}(\log^2 T)$.

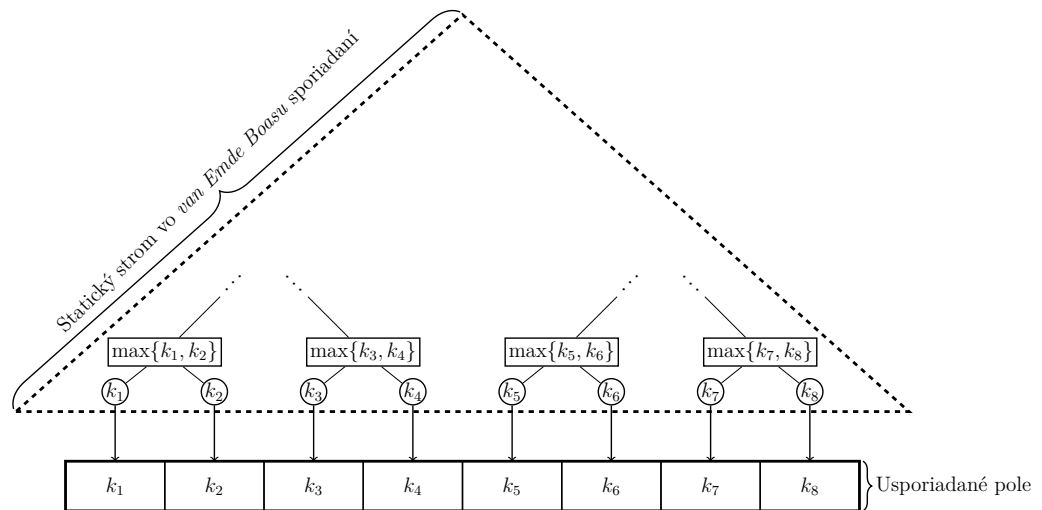
V prípade, že je aj koreň mimo hraníc hustoty, je potrebné vytvoriť pole dvojnásobnej veľkosti. Do spôsobí zmenu intervalu veľkosti $\mathcal{O}(N)$, avšak najbližších N operácií vkladania môže prebehnúť bez nutnosti zväčšovať pole. Preto je amortizovaná veľkosť týmto spôsobom upraveného intervalu iba $\mathcal{O}(1)$ a podobne aj pre odstraňovanie.

Táto dátová štruktúra teda udržiava N usporiadaných prvkov v poli veľkosti $\mathcal{O}(N)$ a podporuje operácie vkladania a odstraňovania, ktoré upravujú súvislý interval amortizovanej veľkosti $\mathcal{O}(\log^2 N)$ a je ich teda možné realizovať pomocou $\mathcal{O}(\frac{\log^2 N}{B})$ pamäťových presunov.

Existujú tiež verzie tejto štruktúry [9], ktoré dosahujú rovnaký počet pamäťových operácií nie v amortizovanom, ale najhoršom prípade. V tejto práci sa im však nebudeme venovať.

2.4 Dynamický B-strom

V tejto sekcii popíšeme dynamickú verziu *cache-oblivious* vyhľadávacieho stromu. Prvá verzia tejto štruktúry, ktorú navrhli Bender, Demaine et al. v [6] a neskôr podrobne popísali v [7], bola však značne komplikovaná a preto uvedieme zjednodušenú verziu. Tú navrhli Bender, Duan et al. v [8] a dosahuje rovnaké výsledky ale jej popis a analýza sú podstatne jednoduchšie.



Obrázok 2.7: Dynamický strom, ktorý vznikne spojením usporiadaného poľa a statického stromu vo *van Emde Boasovom* usporiadaní. Šípky znázorňujú spárovanie listov a položiek poľa.

2.4.1 *Cache-aware* riešenie

V prípade *cache-aware* modelu môžeme na riešenie tohto problému opäť použiť B-strom s vetvením $\Theta(B)$ ako v časti 2.2.2. Rovnako ako pre vyhľadávanie bude na vkladanie potrebných $\mathcal{O}(\log_B N)$ pamäťových presunov.

2.4.2 Popis *cache-oblivious* štruktúry

Túto dátovú štruktúru vytvoríme zložením predchádzajúcich dvoch – statického stromu (2.2.5) a usporiadaného poľa (2.3.1) – jednoduchým spôsobom. Majme usporiadané pole veľkosti $\Theta(N)$. Keďže počet položiek v usporiadanom poli je mocnina dvoch, môžeme nad ním vybudovať úplný binárny statický vyhľadávací strom uložený vo *van Emde Boasovom* usporiadaní. Listy tohto stromu budú prvky usporiadaného poľa (pozri obrázok 2.7).

Kľúče, ktoré táto štruktúra obsahuje, sú uložené v usporiadanom poli (s medzerami). Listy statického stromu obsahujú v svojich kľúčoch rovnakú hodnotu ako k nim prislúchajúce položky usporiadaného poľa. Medzeru reprezentujeme hodnotou, ktorá je pri použití usporiadání najmenšia (v prípade číselných kľúčov $-\infty$). Ostatné vrcholy stromu obsahujú ako kľúč maximum z kľúčov svojich synov.

2.4.3 Vyhľadávanie

Vyhľadávanie v tejto štruktúre prebieha jednoducho. Začínajúc od koreňa, porovnáme hľadaný kľúč s kľúčom v ľavom synovi. Pokiaľ je hľadaný prvok väčší, bude v pravom podstromi (keďže maximum z celého ľavého podstromu je práve kľúč ľavého syna), ktorý rekurzívne prehľadáme. V opačnom prípade prehľadáme ľavý podstrom. Keď

dosiahneme list, porovnáme jeho kľúč s hľadaným. Ak sa zhodujú, našli sme požadovanú položku a v opačnom prípade sa v štruktúre nenachádza.

Analýza

Toto prehľadávanie prechádza cestu od koreňa k listu v strome hĺbky $\mathcal{O}(\log N)$ uloženom vo *van Emde Boasovom* usporiadaní a teda, rovnako ako v časti 2.2.5, vykoná $\mathcal{O}(\log_B N)$ pamäťových presunov.

2.4.4 Vkladanie

Zaujímavejšou operáciou je vkladanie, ktoré v pôvodnom statickom strome nebolo možné. Prvým krokom je nájdenie pozície, na ktorú tento kľúč patrí. To dosiahneme podobne ako v predošlej sekcii. Budeme ale hľadať predchádzajúci a nasledujúci kľúč. Tým nájdeme v usporiadanom poli dvojicu pozícií, medzi ktoré chceme vložiť novú hodnotu.

Vloženie do usporiadaného pola zmení súvislý interval veľkosti K . Následne bude potrebné aktualizovať kľúče v statickom strome, aby opäť obsahovali maximum zo svojich synov. Túto aktualizáciu dosiahneme takzvaným *post-order* prechodom, kedy sa vrchol aktualizuje až po tom, čo boli aktualizovaní jeho synovia. Tým máme zaručené, že po aktualizácii vrchol obsahuje výslednú, korektnú hodnotu. Implementácia takéhoto prechodu je naznačená v algoritme 2.4.

Algoritmus 2.4 Implementácia *post-order* prechodu na aktualizáciu statického stromu

```

1: function UPDATE( $v, I$ )                                ▷  $v$  je vrchol stromu, ktorý práve aktualizujeme
                                                         ▷  $I$  je zmenený interval v usporiadanom poli

2:   if  $v.\text{podstrom} \cap I = \emptyset$  then                ▷ pokiaľ sa zmena tohto vrcholu
3:     return                                              ▷ určite nedotkla, tak ho môžeme preskočiť

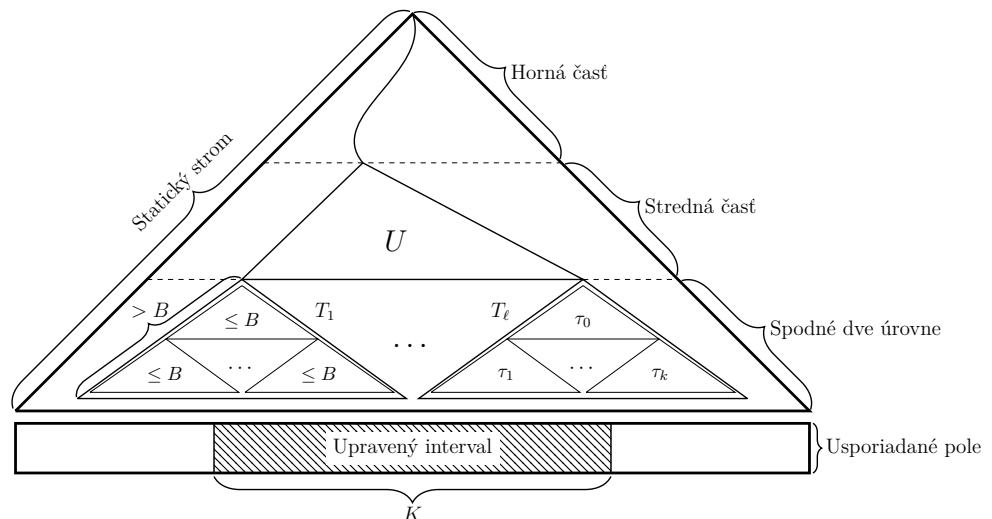
4:   if  $v$  je list then
5:      $v.\text{kľúč} \leftarrow$  hodnota z usporiadaného pola
6:   else
7:     UPDATE( $v.\text{ľavý}$ )                                    ▷ najskôr aktualizujeme ľavého
8:     UPDATE( $v.\text{pravý}$ )                                    ▷ a pravého syna

9:      $v.\text{kľúč} \leftarrow \max(v.\text{ľavý.kľúč}, v.\text{pravý.kľúč})$   ▷ až potom tento vrchol

```

2.4.5 Analýza vkladania

Túto analýzu rozdelíme na tri časti (obrázok 2.8), v ktorých sa postupne pozrieme na rôzne úrovne v statickom strome, ktoré treba po vložení do usporiadaného pola aktualizovať. Budeme predpokladať, že veľkosť zmeneného intervalu v usporiadanom



Obrázok 2.8: Rozdelenie statického stromu na tri časti pri analýze počtu pamäťových presunov.

poli je K . Pre jednotlivé úrovne spočítame počet potrebných pamäťových presunov a nakoniec ich sčítaním získame výslednú zložitosť operácie vkladania.

Spodné dve úrovne

Uvažujme najskôr ako v časti 2.2.5 také podstromy *van Emde Boasovho* delenia, ktorých veľkosť je medzi \sqrt{B} a B , a teda sa zmestia do najviac dvoch blokov v *cache*. Pozrime sa na spodné dve úrovne takýchto podstromov (na obrázku 2.8 reprezentované najmenšími trojuholníkmi). Listy spodnej úrovne budú listy celého statického stromu a korene spodnej úrovne budú synovia listov hornej úrovne. Zvyšok stromu pokračuje nad týmito úrovňami a vrátíme sa k nemu neskôr.

Podstromy v tomto delení sa zmestia do najviac dvoch blokov a vieme ich teda načítať pomocou $\mathcal{O}(1)$ pamäťových presunov. Tieto podstromy vznikli rekurzívnym *van Emde Boasovým* delením z podstromu T veľkosti viac než B . Označme ich, rovnako, ako v časti 2.2.5, $\tau_0, \tau_1, \dots, \tau_k$, pričom τ_0 je podstrom v hornej úrovni a τ_1, \dots, τ_k sú podstromy v spodnej úrovni, ktorých korene sú potomkovia listov τ_0 .

Pri *post-order* prechode cez podstrom T prejdeme najskôr cez ľavých synov od koreňa τ_0 cez τ_1 až do listu. Následne bude *post-order* prechod prebiehať v podstrome τ_1 , až kým nebudú všetky jeho vrcholy a napokon aj koreň aktualizované. Až potom sa vrátíme do τ_0 a k τ_1 už viac pristupovať nebudeme, ale prejdeme nasledovný podstrom, τ_2 . Takto postupne aktualizujeme všetky podstromy, pričom postupnosť navštívených podstromov bude

$$\tau_0, \tau_1, \tau_0, \tau_2, \dots, \tau_0, \tau_i, \tau_0, \dots, \tau_k, \tau_0$$

Vidíme, že pokiaľ dokážeme udržať v *cache* aspoň dva také podstromy, teda za predpokladu $M \geq 4B$, sme schopný takýto *post-order* prechod zrealizovať pomocou

$\mathcal{O}(1)$ pamäťových operácií pre každý podstrom veľkosti $\leq B$. Takéto podstromy majú $\mathcal{O}(B)$ listov, pričom nimi potrebujeme pokryť interval veľkosti K (podstromy, ktorých žiaden list neleží v upravenom intervale nie je potrebné aktualizovať) a teda celkový počet podstromov na spodných dvoch úrovniach, ktoré potrebujeme načítať a upraviť je $\mathcal{O}(\frac{K}{B})$ a stačí nám na to $\mathcal{O}(\frac{K}{B})$ pamäťových presunov.

Stredná časť – najbližší spoločný predok

Označme ako T_1, \dots, T_ℓ tie stromy, ktoré obsahujú aktualizované podstromy veľkosti najviac B na spodných dvoch úrovniach. Platí teda $\ell = \mathcal{O}(\frac{K}{B})$. Označme U taký podstrom statického stromu, ktorého koreň je najbližší spoločný predok koreňov T_1, \dots, T_ℓ . Ak je tento koreň v hĺbke h tak U obsahuje všetky vrcholy hĺbky aspoň h , ktoré treba aktualizovať - tie mimo U nie sú predkovia upravených vrcholov a teda hodnoty kľúčov ich potomkov neboli v prvej časti zmenené, alebo už boli aktualizované ako súčasť nejakého podstromu T_i na spodnej úrovni.

Počet vrcholov U je najviac dvojnásobok počtu listov a teda $|U| = \mathcal{O}(l) = \mathcal{O}(\frac{K}{B})$. Keďže pri *post-order* prechode navštívime každý vrchol $\mathcal{O}(1)$ krát (najprv pri prechode z koreňa ku listom, pričom následne rekurzívne prejdeme ľavého a pravého syna, a potom pri návrate z rekurzie) a teda celkovo budeme potrebovať $\mathcal{O}(\frac{K}{B})$ pamäťových presunov na aktualizáciu U .

Horná časť – cesta z najbližšieho spoločného predka do koreňa

Posledná množina vrcholov, ktoré je potrebné aktualizovať, je cesta z koreňa U do koreňa statického stromu. Dĺžka tejto cesty je obmedzená výškou stromu $\mathcal{O}(\log N)$ a pri aktualizovaní prechádzame cez jej vrcholy postupne. Podobne ako pri vyhľadávaní (časť 2.4.3) bude potrebných $\mathcal{O}(\log_B N)$ pamäťových presunov.

Výsledná zložitosť

Sčítaním nasledovných zložítostí počtu pamäťových operácií

Nájdienie pozície v usporiadanom poli:	$\mathcal{O}(\log_B N)$
Vloženie do usporiadaného poľa:	$\mathcal{O}(\frac{K}{B})$
Aktualizácia spodných dvoch úrovní:	$\mathcal{O}(\frac{K}{B})$
Aktualizácia strednej úrovne:	$\mathcal{O}(\frac{K}{B})$
Aktualizácia hornej úrovne:	$\mathcal{O}(\log_B N)$

dostávame celkovú zložitosť $\mathcal{O}(\log_B N + \frac{K}{B})$. Keďže amortizovaná veľkosť upraveného intervalu je $K = \mathcal{O}(\log^2 N)$ dostávame výslednú amortizovanú zložitosť počtu pamäťových operácií pri vkladaní: $\mathcal{O}(\log_B N + \frac{\log^2 N}{B})$.

2.4.6 Odstraňovanie

Algoritmus odstraňovania je analogický, po nájdení prvku v usporiadanom poli ho odstránime, čím sa zmení súvislý interval amortizovanej veľkosti $\mathcal{O}(\log^2 N)$. Následne aktualizujeme kľúče v statickom poli rovnako ako pri vkladaní. Výsledná zložitosť bude taktiež rovnaká.

2.5 Vylepšený dynamický B-strom

Any problem in computer science
can be solved with another level of
indirection.

David Wheeler

Oproti *cache-aware* B-stromom má pri vkladaní *cache-oblivious* dynamický strom popísaný v predchádzajúcej sekcii navyše $\mathcal{O}(\frac{\log^2 N}{B})$ pamäťových presunov. V prípade, že $B = \Theta(\log N \log \log N)$, bude tento člen zanedbateľný a dosiahneme rovnaký výsledok ako *cache-aware* B-stromy. Jednoduchou modifikáciou však môžeme tento člen môžeme odstrániť bez nutnosti tohto predpokladu.

Vezmeme N kľúčov a rozdelíme ich do $\Theta(\frac{N}{\log N})$ blokov veľkosti $\Theta(\log N)$. Minimum z každej skupiny použijeme ako kľúče v predchádzajúcej dátovej štruktúre, ktorej veľkosť bude $\Theta(\frac{N}{\log N})$.

2.5.1 Vyhľadávanie

Najskôr vyhladáme požadovaný blok v B-strome, čo zaberie $\mathcal{O}(\log_B \frac{N}{\log N}) = \mathcal{O}(\log_B N)$ pamäťových presunov. Následne prejdeme daný blok celý a nájdeme v ňom požadovaný kľúč. To vyžaduje $\mathcal{O}(\frac{\log N}{B})$ pamäťových presunov - zanedbateľné voči hľadaniu v B-strome - a spolu teda vyhľadávanie vyžaduje rovnako veľa pamäťových presunov ako neupravený B-strom: $\mathcal{O}(\log_B N)$.

2.5.2 Vkladanie a odstraňovanie

Po nájdení požadovaného bloku vykonáme vloženie prípadne odstránenie z neho kompletným prepísaním, čo vyžaduje $\mathcal{O}(\frac{\log N}{B})$ presunov. Zároveň budeme udržiavať veľkosti blokov medzi $\frac{1}{4} \log N$ a $\log N$. Príliš malé skupiny môžeme spojiť do väčších a veľké rozdeliť na niekoľko menších. Skupina prekročí svoje hranice najskôr po $\Omega(\log N)$ operáciách. V takom prípade po rozdelení alebo spojení bude potrebné vykonať vloženie alebo odstránenie z B-stromu. Vydelením dostávame amortizovanú zložitosť vkladania a odstraňovania:

$$\mathcal{O}\left(\frac{\log_B N + \frac{\log^2 N}{B}}{\log N}\right) = \mathcal{O}\left(\frac{\log N}{B}\right)$$

Najskôr však musíme nájsť blok, ktorý budeme aktualizovať. Teda výsledná zložitosť bude $\mathcal{O}(\log_B N)$ rovnako ako pri *cache-aware* B-strome. Opäť sme teda dosiahli rovnaký počet operácií ako ekvivalentná *cache-aware* dátová štruktúra, avšak tentokrát nie v najhoršom ale amortizovanom prípade.

KAPITOLA 3

Vizualizácie

An algorithm must be seen
to be believed.

The Art of Computer Programming

DONALD E. KNUTH

Cieľom tejto práce je nielen popísať *cache-oblivious* pamäťový model a rôzne dátové štruktúry v ňom, ale aj vytvoriť ich vizualizácie. Tie majú slúžiť na edukačné účely pre študentov (a učiteľov) a pomáhať pri pochopení ich fungovania.

Výsledkom práce sú vizualizácie demonštrujúce dátové štruktúry popísané v predchádzajúcich sekciách: *van Emde Boasovo* usporiadanie (sekcia 2.2.5) v statickom binárnom vyhľadávacom strome, usporiadané pole (2.3) a dynamický B-strom (2.4). Súčasťou je tiež simulácia *cache* (sekcia 1.1) s možnosťou voľby parametrov B a M - veľkosť bloku a celková veľkosť.

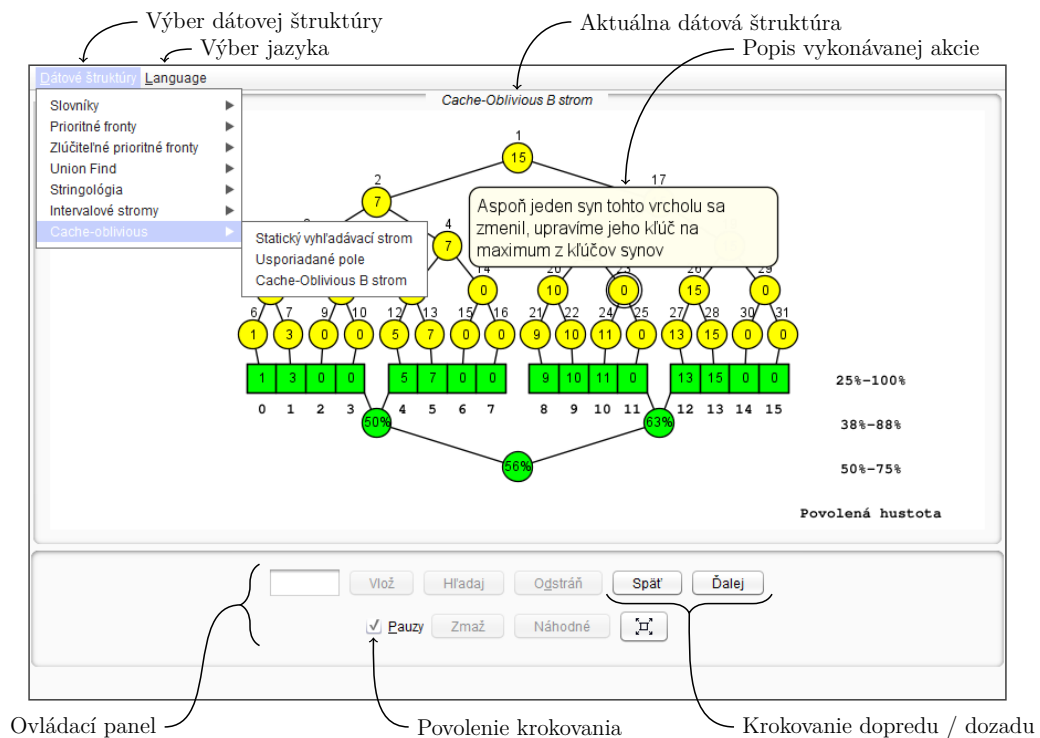
3.1 Gnarley trees

Tieto vizualizácie sú implementované ako rozšírenie programu *Gnarley trees*, ktorý vznikol ako súčasť bakalárskej práce Jakuba Kováča [17]. Tento nástroj na vizualizáciu (prevažne stromových) dátových štruktúr bol následne v bakalárskych prácach [16, 23, 18] a ročníkových projektoch rozšírený o mnohé ďalšie dátové štruktúry a v súčasnosti podporuje desiatky štruktúr, ako napríklad červeno-čierne, sufixové a intervalové stromy, *union-find*, haldy a mnohé ďalšie.

3.1.1 Spustenie

Súčasťou práce je priložené CD obsahujúce zdrojový kód [22] tohto programu a tiež skompilovanú verziu [21]. Aplikácia na spustenie požaduje *JVM*¹. Spustenie je možné

¹*Java Virtual Machine*, dostupné na <https://www.java.com/en/download/>



Obrázok 3.1: Užívateľské rozhranie počas operácie vkladania kľúča 10 do dynamického *cache-oblivious* B-stromu (sekcia 2.4).

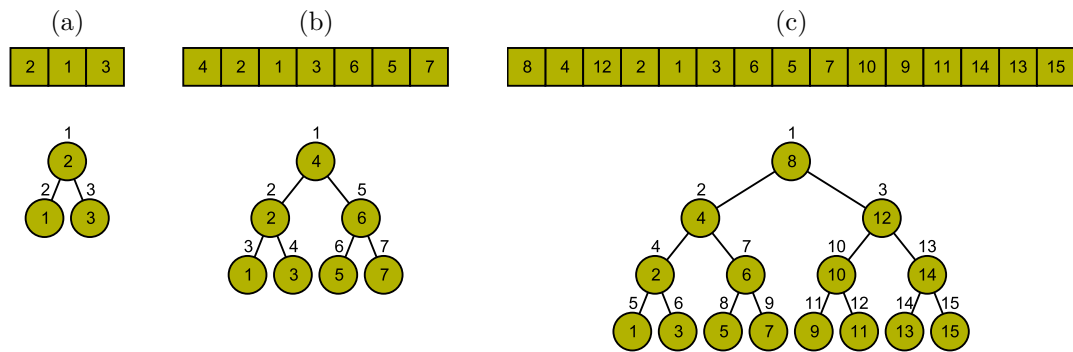
vykonať spustením súborov `start.sh` prípadne `start.bat`, podľa operačného systému. Dostupné sú tiež individuálne vizualizácie vo forme *Java appletov*, ktoré je možné spustiť otvorením súboru `index.html` v preferovanom internetovom prehliadači.

Obsah tejto CD prílohy je tiež dostupný na <http://school.lacop.net/thesis/cd-contents.zip>.

3.1.2 Funkcionalita

Program umožňuje užívateľom zobrazovať tieto štruktúry a manipulovať s nimi. Všetky operácie sú rozložené na malé, jednoduché kroky a každý je vysvetlený, keď sa vykonáva. Je možné posúvať sa po krokoch dopredu, ale aj vracat sa dozadu, a teda sa dá kedykoľvek vrátiť až k počiatočnému stavu. Toto je dôležité pri experimentovaní s danou štruktúrou, kedy dve rôzne operácie (alebo jedna operácia s dvoma rôznymi parametrami) spôsobia rôzne správanie a výsledky. Užívateľ má takto možnosť jednoducho sa po vykonaní prvej operácie vrátiť do predošlého stavu a preskúmať správanie druhej z nich.

Celý program je taktiež dvojjazyčný - je možné prepnúť medzi angličtinou a slovenčinou, čo umožňuje širšie použitie týchto vizualizácií.



Obrázok 3.2: Statické stromy rôznych veľkostí (výšok) vo *van Emde Boasovom* usporiadaní.

3.1.3 Prehľad programu

Program sa skladá z troch hlavných častí (obrázok 3.1). Najvrchnejšia časť okna tvorí hlavné menu, v ktorej môžeme voľiť dátové štruktúry a prepínať jazyk rozhrania. Dátové štruktúry sú pre prehľadnosť rozdelené do niekoľkých kategórií. Tie popísané a implementované v tejto práci sa nachádzajú v kategórii **Cache-oblivious**.

V spodnej časti okna sa nachádza ovládací panel, ktorý obsahuje vstupné pole pre hodnotu, ktorú chceme vyhľadať alebo vložiť a tlačidlá na vykonanie týchto akcií. Ďalej obsahuje tlačidlá na prechod do ďalšieho kroku a návrat do predchádzajúceho stavu s možnosťou toto krokovanie vypnúť.

Najväčšia, prostredná časť okna zobrazuje vizualizáciu aktuálnej dátovej štruktúry. Toto zobrazenie je vektorové a je možné ho posúvať, približovať a oddaľovať. Zároveň sa tu zobrazujú informácie o aktuálne vykonávanej akcii (ak je povolené krokovanie) a ďalšie vizualizačné prvky ako šípky alebo význačné vrcholy.

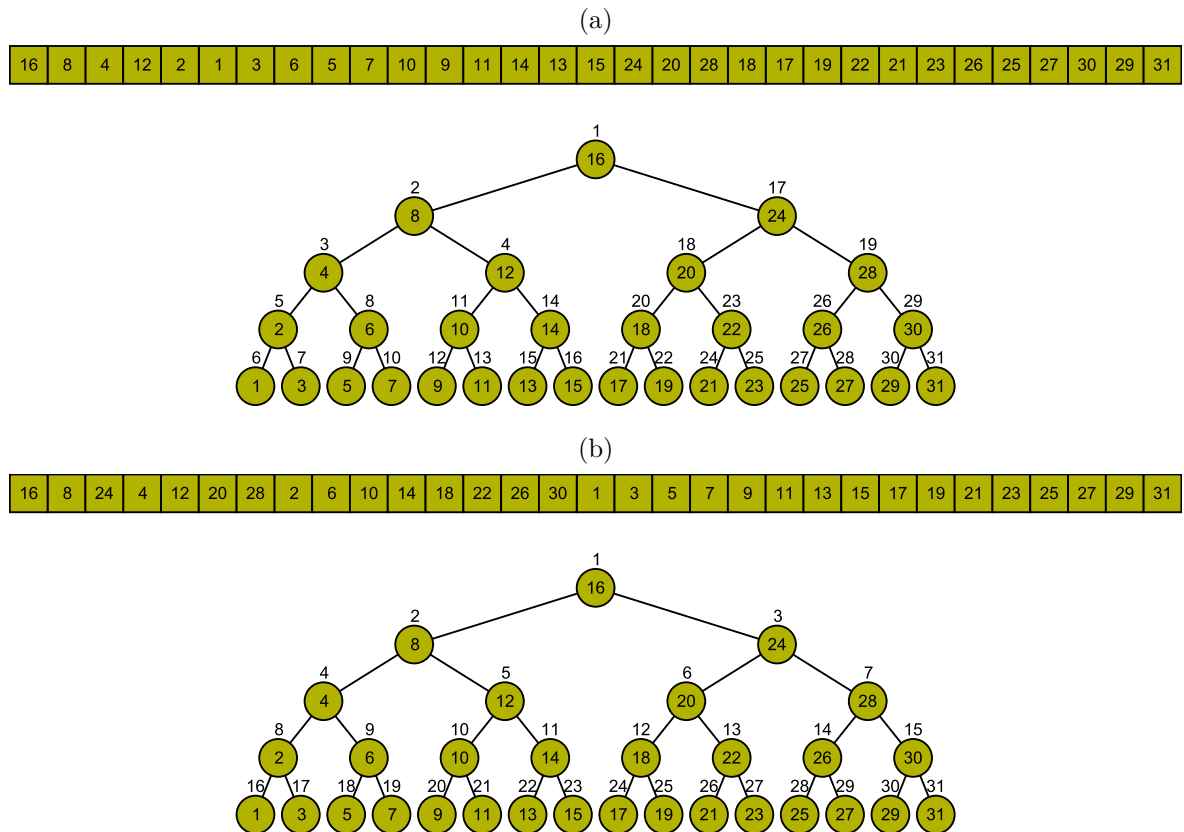
Podrobnejší popis užívateľského rozhrania a návod na používanie sa nachádza v bakalárskej práci Jakuba Kováča [17] v siedmej kapitole.

3.2 Statický strom

Najjednoduchšou dátovou štruktúrou je statický vyhľadávací strom. Implementovali sme vytvorenie tohto stromu a jeho uloženie v pamäti. Je možné strom zväčšiť alebo zmenšiť podľa preferencií - ukážky stromov rôznych veľkostí sú na obrázku 3.2.

Čísla vo vnútorných vrcholoch sú kľúče, čísla nad vrcholom určujú jeho pozíciu v pamäti. Uloženie tohto stromu v pamäti, vo forme súvislého poľa, je zobrazené nad koreňom stromu. Vnútorné čísla poľa sú opäť kľúče, pričom sú zoradené podľa svojich pozícií zľava (pozícia 1) doprava.

Medzi uložením vo *van Emde Boasovom* usporiadaní a klasickom *BFS* usporiadaní (ako v časti 2.2.4) je možné prepínať. Zmenia sa pritom čísla udávajúce pozície



Obrázok 3.3: Rozdiel medzi *BFS* a *van Emde Boasovým* usporiadaním na strome výšky 5. Kľúče zostávajú rovnaké, líšia sa však ich pozície v pamäti reprezentované malými číslami nad vrcholmi a poľom nad koreňom.

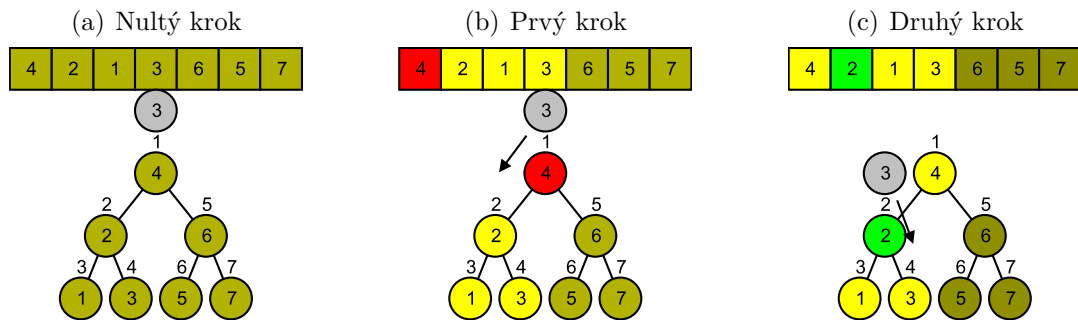
vrcholov v pamäti a ich poradie v poli nad stromom. Rozdiel medzi týmito dvoma usporiadaniami vidieť na obrázku 3.3.

3.2.1 Simulácia *cache*

Porovnanie týchto dvoch usporiadaní je rozšírené o simuláciu *cache*. Užívateľ si môže zvoliť parametre *cache* - počet vrcholov B , ktoré sa zmestia do jedného bloku a počet blokov $\frac{M}{B}$ v *cache*. Tiež je možné *cache* kedykoľvek vyprázdniť – odstrániť z nej všetky načítané bloky. Simulácia na výmenu stránok používa stratégiu *FIFO*, ktorá je popísaná v časti 1.2.1.

Táto simulácia zároveň počíta počet pamäťových prístupov k vrcholom pri vyhľadávaní. Prvé počítadlo udáva počet všetkých prístupov a správa sa rovnako pri *van Emde Boasovom* aj *BFS* usporiadaní a tiež pre ľubovoľné parametre *cache*. Druhé udáva počet prístupov, pri ktorých bolo potrebné načítanie z disku (*cache miss*) a pri zmene parametrov či usporiadania sa bude správať inak. Cieľom *cache-oblivious* algoritmov je minimalizovať práve počet takých presunov, ktoré počíta toto druhé počítadlo.

Na vizualizáciu prítomnosti v *cache* slúži farba - vrcholy a položky poľa obsahujúce kľúče majú svetlejšiu farbu pozadia v prípade, že je daný blok v *cache* a tmavšiu, ak



Obrázok 3.4: Simulácia *cache* počas vyhľadávania kľúča 3. Pred prvým prístupom je *cache* prázdna. V prvom kroku načítame koreň, ktorý je označený červenou farbou (*cache miss*), keďže nebol v *cache*. Spolu s ním sa v jednom bloku načítali ďalšie vrcholy, ktoré sú označené svetlejšou farbou. V druhom kroku je vrchol s kľúčom 2 označený zelenou farbou (*cache hit*), keďže už bol do *cache* načítaný v predchádzajúcom kroku.

je mimo. V strome je vďaka tomu ľahko vidieť, ktorá časť je načítaná a je možné ňou prechádzať bez ďalších presunov. V prípade *van Emde Boasovho* usporiadania pôjde prevažne o časť podstromu aktuálne porovnávaného vrcholu, avšak pri klasickom usporiadaní to budú práve vrcholy mimo tohto podstromu, o ktorých už vieme, že nie sú pri vyhľadávaní potrebné.

Pri krokovaní vyhľadávania je pri prístupe k vrcholu tiež použitá zelená alebo červená farba na jeho dočasné zafarbenie (podobne ako v časti 2.2.6) podľa toho, či sa v danom momente v *cache* nachádzal (*cache hit*) alebo nie (*cache miss*). Ukážky tohto zafarbovania sú na obrázkoch 3.4 a 3.5.

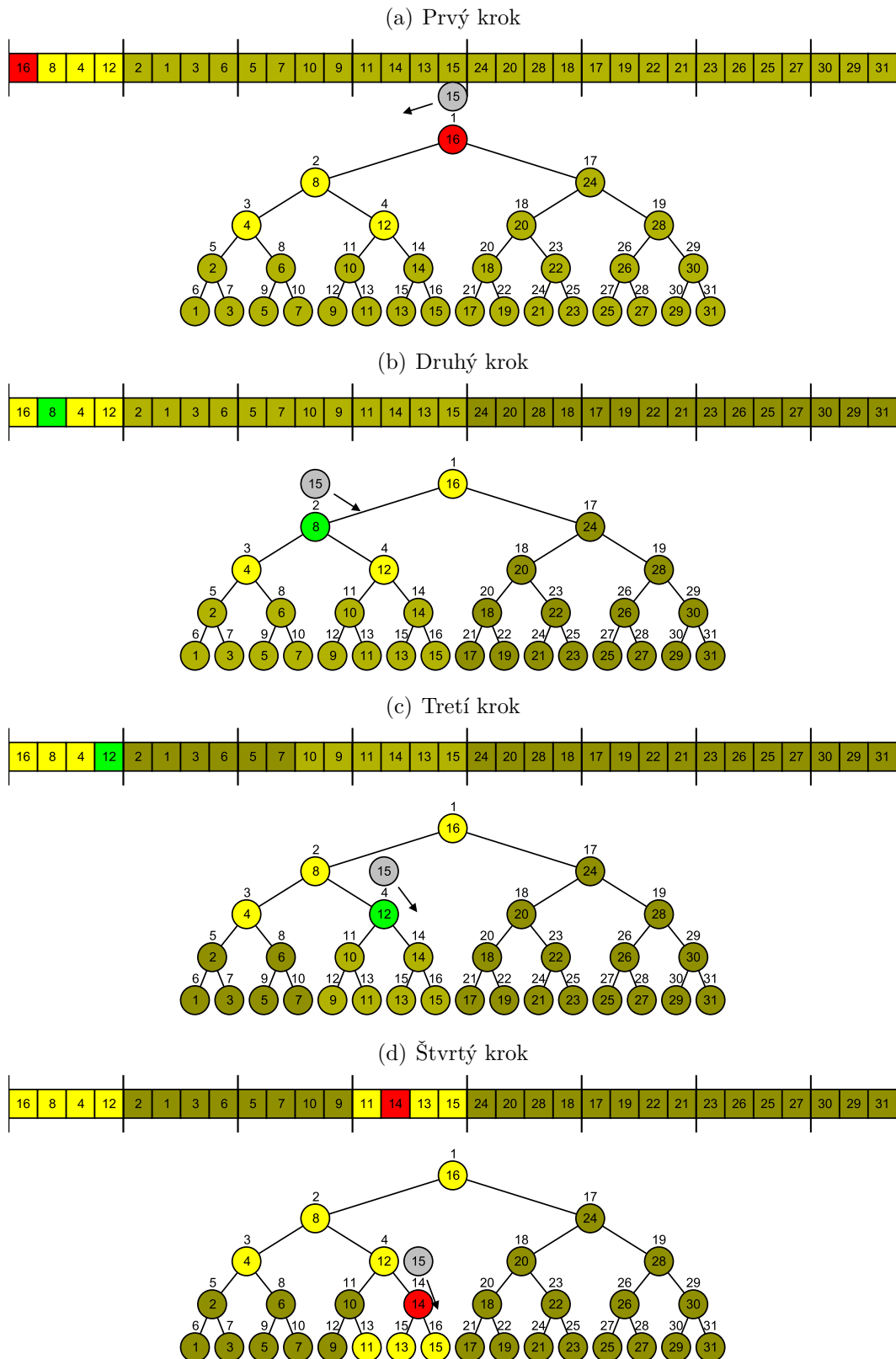
3.3 Usporiadané pole

Ďalšou implementovanou vizualizáciou je usporiadané pole (obrázok 3.6), ktoré bolo popísané v časti 2.3. Bloky, na ktoré je toto pole imaginárne rozdelené sú znázornené tým, že sú od seba oddelené medzerou. Taktiež sa zobrazuje imaginárny strom nad týmito blokmi, ktorým sa pri vkladaní prechádza. Hodnoty vo vrcholoch reprezentujú hustotu (v percentách) intervalu v príslušnom podstromi. Farby (zelená alebo červená) vrcholov indikujú, či sa hustota daného vrcholu nachádza v hraniciach.

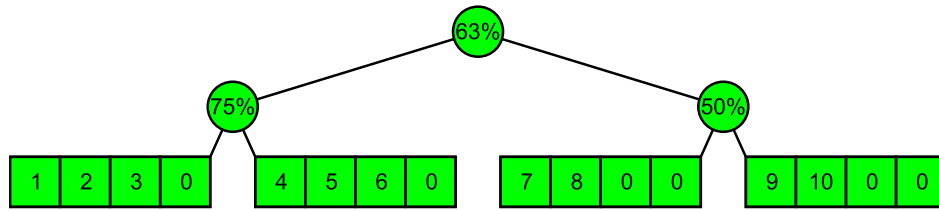
Táto vizualizácia podporuje vkladanie hodnoty na ľubovoľnú pozíciu v poli. V prípade, že sa pole preplní, automaticky sa vytvorí nové, dvojnásobne väčšie. Po vložení hodnoty je tiež vyznačený interval, ktorý sa zmenil.

3.4 Dynamický strom

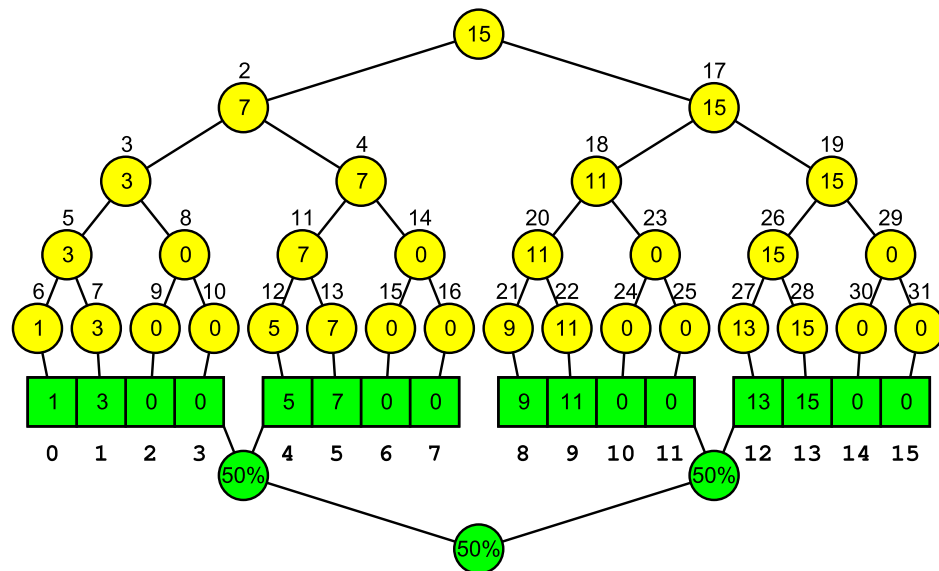
Vizualizácia dynamického stromu (časť 2.4) vznikla spojením predchádzajúcich dvoch vizualizácií (obrázok 3.7). Horná časť je statický strom vo *van Emde Boasovom* uspo-



Obrázok 3.5: Simulácia *cache* počas vyhľadávania kľúča 15. Pred prvým prístupom je *cache* prázdna. Po načítaní bloku, ktorý obsahuje kľúče {16, 8, 4, 12} v prvom kroku, nedochádza v druhom a tretom kroku k pamäťovým presunom. Najbližší kľúč mimo *cache* (*cache miss*) je až v štvrtom kroku.



Obrázok 3.6: Usporiadané pole obsahujúce hodnoty 1 až 10. Všetky vrcholy majú hustotu v hraniach hustoty. Hodnoty 0 reprezentujú prázdne pozície.



Obrázok 3.7: Vizualizácia dynamického *cache-oblivious* B-stromu.

riadaní (obrázok 3.2), dolná je usporiadané pole (obrázok 3.6), pričom strom hustôt je tu preklopený nadol, aby sa neprekrýval so statickým stromom. Hrany medzi nimi spájajú listy stromu s prvkami usporiadaného pola.

V tomto strome je možné vyhľadávať a vkladať do neho nové kľúče. Pri vkladaní prebehne najskôr vloženie do usporiadaného poľa rovnako, ako pri jeho samostatnej vizualizácii. Následne sa aktualizujú kľúče statického stromu. V prípade zdvojnásobenia veľkosti statického poľa sa vytvorí nový, väčší statický strom.

Záver

V tejto práci sme uviedli problematiku návrhu a analýzy algoritmov a dátových štruktúr v pamäťových modeloch akými sú *cache-aware* a *cache-oblivious* modely, v ktorých na rozdiel od klasického *RAM* modelu nepovažujeme každý prístup k dátam za operáciu vykonateľnú v konštantnom čase. Prínos týchto modelov sme podložili prístupovými dobami k rôznym pamätiam v reálnych systémoch, ktoré sa líšia o niekoľko rádov.

Ďalej sme sa zamerali na *cache-oblivious* model, ktorý je podstatne novší a menej známy ako *cache-aware* model. Jeho hlavným prínosom je automatická prenositeľnosť medzi systémami s rôznymi parametrami pamäte, automatické fungovanie na každej úrovni pamätevej hierarchie a jednoduchšia implementácia. Uviedli sme niekoľko *cache-oblivious* algoritmov a dátových štruktúr, ktoré sú rovnako alebo porovnateľne efektívne ako ich *cache-aware* ekvivalenty.

Hlavným výsledkom práce sú však vizualizácie vybraných *cache-oblivious* dátových štruktúr, ktoré boli implementované ako rozšírenie vizualizačného programu *Gnarley trees*. Tie môžu slúžiť ako učebný nástroj pre zjednodušenie a urýchlenie porozumenia týmto štruktúram.

V budúcnosti by sme chceli tieto vizualizácie rozšíriť o ďalšie *cache-oblivious* dátové štruktúry, ako napríklad prioritné fronty, stromy s textovými kľúčmi, spájané zoznamy a tiež o *cache-oblivious* triediace algoritmy.

Literatúra

- [1] Alok Aggarwal, Jeffrey Vitter, et al.: *The input/output complexity of sorting and related problems*, in: *Communications of the ACM* 31.9 (1988), pp. 1116–1127.
- [2] Alfred V Aho, John E Hopcroft: *Design & Analysis of Computer Algorithms*, Pearson Education India, 1974.
- [3] Lars Arge: *The buffer tree: A new technique for optimal I/O-algorithms*, Springer, 1995.
- [4] Lars Arge, G Brodal, Rolf Fagerberg: *Cache-oblivious data structures*, in: *Handbook of Data Structures and Applications* 27 (2005).
- [5] Rudolf Bayer: *Binary B-trees for Virtual Memory*, in: *Proceedings of the 1971 ACM SIGFIDET (Now SIGMOD) Workshop on Data Description, Access and Control*, SIGFIDET '71, San Diego, California: ACM, 1971, pp. 219–235.
- [6] Michael A. Bender, Erik D. Demaine, Martin Farach-Colton: *Cache-Oblivious B-Trees*, in: *Proceedings of the 41st Annual Symposium on Foundations of Computer Science (FOCS 2000)*, Redondo Beach, California, 2000, pp. 399–409.
- [7] Michael A. Bender, Erik D. Demaine, Martin Farach-Colton: *Cache-Oblivious B-Trees*, in: *SIAM Journal on Computing* 35.2 (2005), pp. 341–358.
- [8] Michael A Bender et al.: *A locality-preserving cache-oblivious dynamic dictionary*, in: *Proceedings of the thirteenth annual ACM-SIAM symposium on Discrete algorithms*, Society for Industrial and Applied Mathematics, 2002, pp. 29–38.
- [9] Michael A Bender et al.: *Two simplified algorithms for maintaining order in a list*, in: *Algorithms—ESA 2002*, Springer, 2002, pp. 152–164.
- [10] Erik D. Demaine: *Cache-Oblivious Algorithms and Data Structures*, in: *Lecture Notes from the EEF Summer School on Massive Data Sets*, BRICS, University of Aarhus, Denmark, 2002.
- [11] Ulrich Drepper: *What every programmer should know about memory*, in: *Red Hat, Inc* 11 (2007).
- [12] Matteo Frigo et al.: *Cache-oblivious algorithms*, in: *Foundations of Computer Science, 1999. 40th Annual Symposium on*, IEEE, 1999, pp. 285–297.

- [13] Intel Corporation: *Intel® 64 and IA-32 Architectures Optimization Reference Manual*, 248966-029, 2014.
- [14] Intel Corporation: *Intel® 64 and IA-32 Architectures Software Developer's Manual*, 325462-050US, 2014.
- [15] Zardosht Kasheff: *Cache-oblivious dynamic search trees*, PhD thesis, Massachusetts Institute of Technology, 2004.
- [16] Katarína Kotrlová: *Vizualizácia hald a intervalových stromov*, bakalárska práca, Univerzita Komenského v Bratislave, 2012.
- [17] Jakub Kováč: *Vyhľadávacie stromy a ich vizualizácia*, bakalárska práca, Univerzita Komenského v Bratislave, 2007.
- [18] Pavol Lukča: *Perzistentné dátové štruktúry a ich vizualizácia*, bakalárska práca, Univerzita Komenského v Bratislave, 2013.
- [19] Rasmus Pagh: *Basic external memory data structures*, in: *Algorithms for Memory Hierarchies*, Springer, 2003, pp. 14–35.
- [20] Harald Prokop: *Cache-oblivious algorithms*, PhD thesis, Massachusetts Institute of Technology, 1999.
- [21] Ladislav Pápay: *Príloha k bakalárskej práci - spustiteľná verzia*, 2014, DOI: 10.5281/zenodo.10082, URL: <http://dx.doi.org/10.5281/zenodo.10082>.
- [22] Ladislav Pápay et al.: *Príloha k bakalárskej práci - zdrojový kód*, 2014, DOI: 10.5281/zenodo.10080, URL: <http://dx.doi.org/10.5281/zenodo.10080>.
- [23] Viktor Tomkovič: *Vizualizácia stromových dátových štruktúr*, bakalárska práca, Univerzita Komenského v Bratislave, 2012.
- [24] Jeffrey Scott Vitter: *Algorithms and data structures for external memory*, in: *Foundations and Trends® in Theoretical Computer Science* 2.4 (2008), pp. 305–474.

Kolofón

Sadzba tejto práce bola vykonaná systémom \LaTeX s použitím šablóny `memoir`. Literatúra bola spravovaná systémom `BibTeX`. Ilustrácie sú vyrobené pomocou balíčkov `TikZ/PGF`.



Text tejto práce je zverejnený pod Creative Commons licenciou verzie BY-NC-ND 3.0, ktorej plné znenie sa nachádza na stránke <https://creativecommons.org/licenses/by-nc-nd/3.0/>.

Zdrojový text tejto práce spolu so všetkými ilustráciami je dostupný na stránke <https://github.com/lacop/thesis>.